

Le traitement de l'incertitude dans les évaluations médico-économiques



Faculté de Pharmacie, Aix Marseille Université Laboratoire SESSTIM UMR 912 (INSERM, IRD, AMU)

E-mail: carole.siani@univ-amu.fr















Plan

- I- Introduction
- II- Les différents types d'incertitude
 - II-1 Incertitude liée aux choix sur les paramètres du modèle
 - II-2 Incertitude liée aux fluctuations d'échantillonnage
- III- Le Ratio Coût-Efficacité Incrémental (RCEI)
- IV- Le Bénéfice Net Incrémental (BNI) sanitaire ou monétaire
- V- Approche alternative : les courbes d'acceptabilité
- VI- Conclusion
- VII- Application: exemple

I- Introduction

- I-1 Historique
- I-2 Aujourd'hui
- I-3 Les indicateurs de décision



I-1 Historique

- Traditionnellement, l'évaluation économique des programmes de santé reposait sur des analyses déterministes (indisponibilité des données, nécessité de recourir à des jugements d'experts).
- Au mieux, elle relevait d'analyses partiellement stochastiques où seules les données d'efficacité médicale provenaient d'échantillons
- Dans ce contexte, la méthode utilisée pour le traitement de l'incertitude des données ne pouvait être que **l'analyse de sensibilité.**



I-1 Historique

- Depuis quelques années, on assiste au développement d'évaluations économiques de type prospectif, associées à des essais cliniques randomisés et contrôlés, fournissant des données médicales et économiques.
- Les évaluation médico-économiques en parallèle d'essais cliniques permettent :
 - des analyses entièrement stochastiques (puisque les coûts et les effets sont déterminés à partir de données échantillonnées provenant des mêmes patients).
 - une approche fondée sur le traitement statistique de l'incertitude impliquant une décision fiable.



I-2 Aujourd'hui

Dans une perspective de contribution de l'évaluation médico-économique à la décision, il est indispensable de :

- tenir compte simultanément de l'incertitude sur la double dimension du coût et de l'efficacité de chaque programme,
- d'appliquer des tests statistiques à des indicateurs basés sur ces deux dimensions.



I-3 Les indicateurs de décision

Deux indicateurs sont couramment utilisés dans la pratique de l'évaluation économique :

- 1. le Ratio Coût-Efficacité Incrémental (RCEI),
- 2. le Bénéfice Net Incrémental (**BNI**) monétaire ou sanitaire.

Une autre approche concerne les courbes d'acceptabilité.



II- Les différents types d'incertitude

II-1 Incertitude liée aux choix sur les paramètres du modèle

II-2 Incertitude liée aux fluctuations d'échantillonnage (incertitude statistique)



Les étapes d'une évaluation médicoéconomique

- Définir les stratégies thérapeutiques à évaluer
- Identifier les résultats cliniques pertinents des patients
- Identifier les coûts pertinents
- Mesurer et évaluer les résultats cliniques
- Mesurer et évaluer les coûts
- Tester la robustesse des résultats de l'évaluation

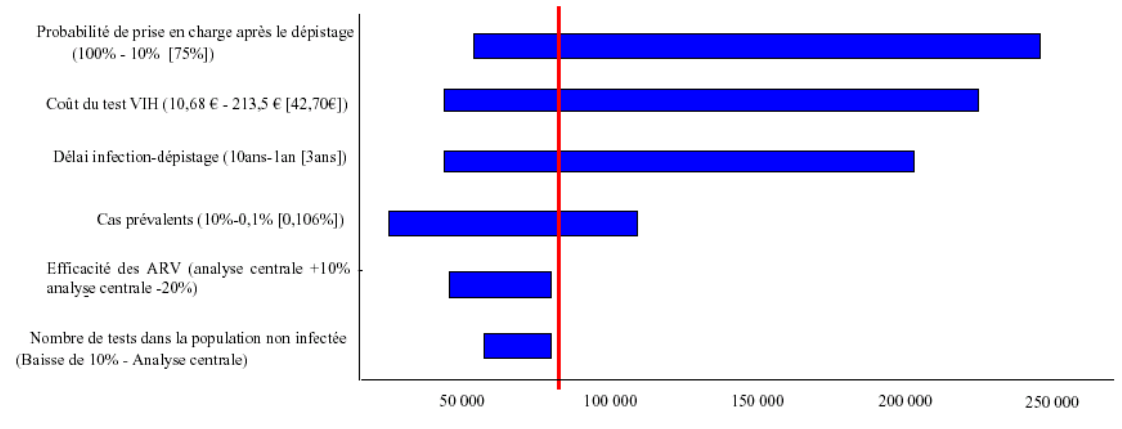


Deux types d'incertitude

 Incertitude liée aux choix sur les paramètres du modèle (taux d'actualisation ...)



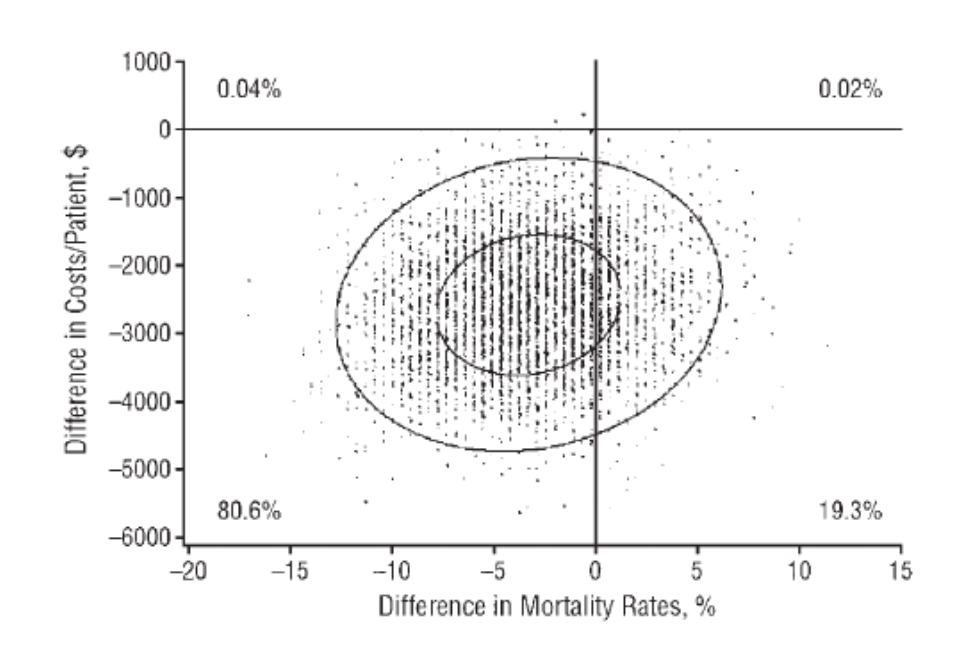
Figure : Présentation d'une analyse de sensibilité univariée sous la forme d'un graphique de Tornado.



2. Incertitude liée aux fluctuations d'échantillonnage



incertitude statistique





II-1 Incertitude liée aux choix sur les paramètres du modèle

- Les analyses de sensibilité
- Un exemple d'analyse de sensibilité
- Les différents types d'analyse de sensibilité



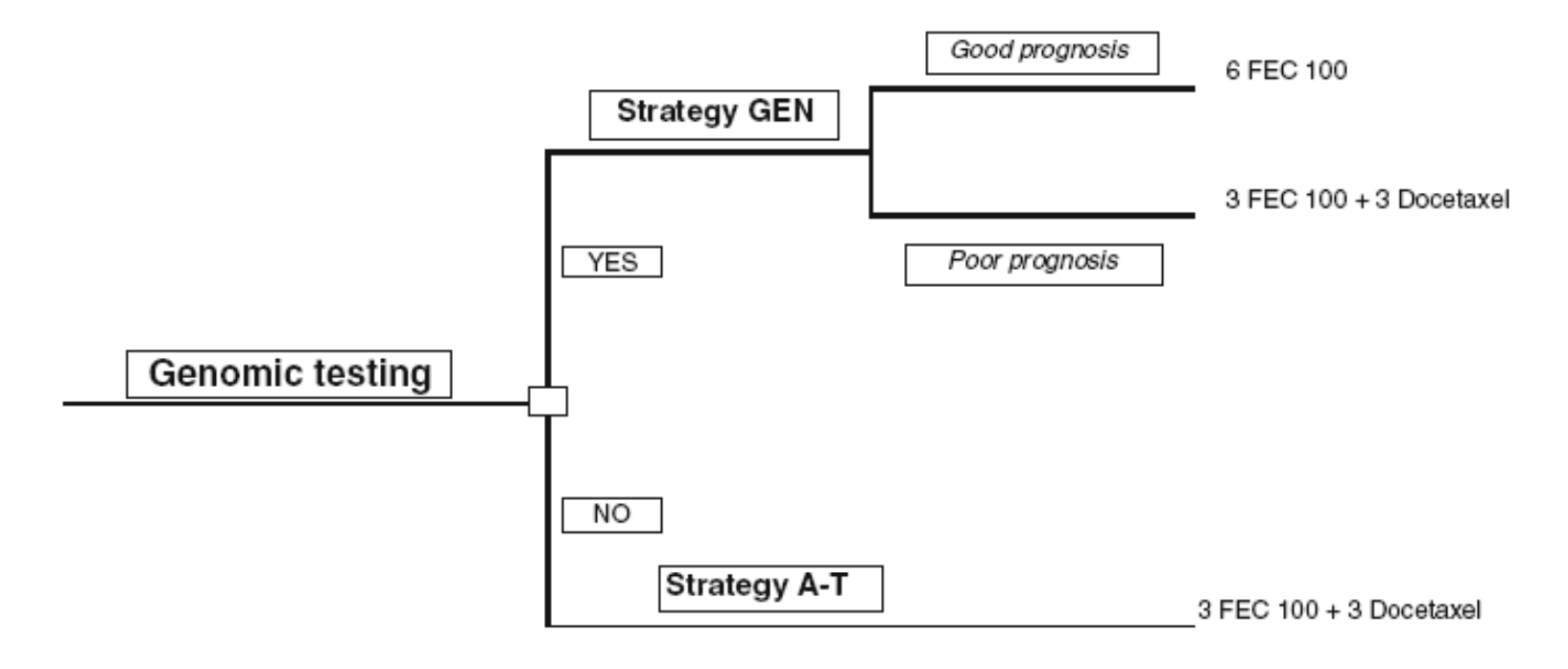
Les analyses de sensibilité

- Objectif: explorer la sensibilité des résultats de l'étude aux valeurs choisies pour certaines variables, ou aux hypothèses faites (taux d'actualisation etc.).
- Elle comprend 3 étapes :
- 1. identifier les principaux paramètres incertains,
- 2. faire des hypothèses sur les intervalles de variations vraisemblables pour les valeurs de ces paramètres (revue de la littérature, jugements d'experts, intervalles de confiance autour de la moyenne, etc.),
- 3. déterminer (de façon univariée ou multivariée) l'impact de ces variations sur le résultat final.



Stratégies comparées

- Innovante GEN: test génomique permettant d'orienter vers un traitement approprié: anthracyclines + taxanes ou anthracyclines seules
- ❖ Standard A-T: anthracyclines + taxanes pour des patientes avec un cancer du sein à un stade avancé



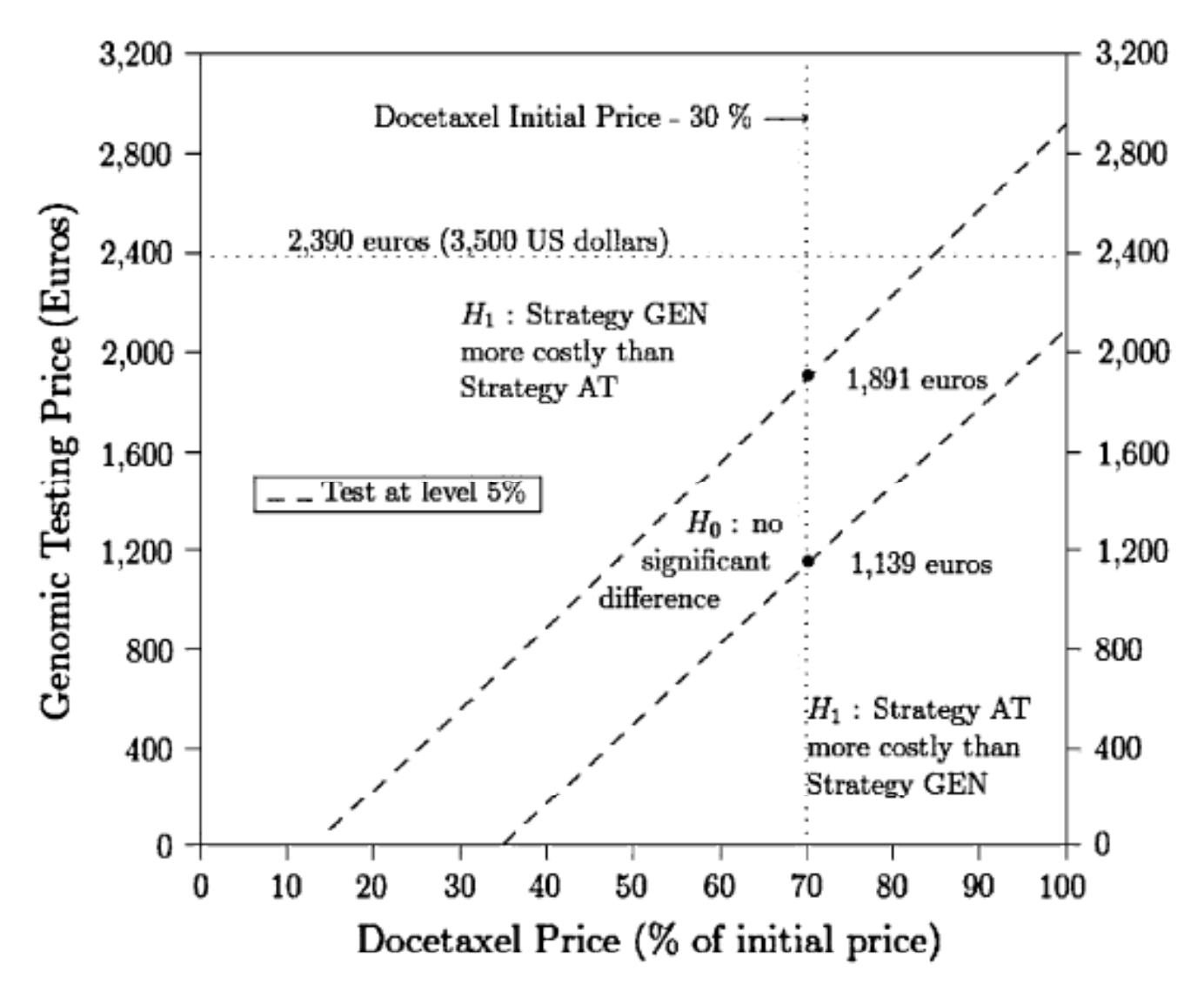


 Le génotypage a été réalisé (par Ipsogen, Marseilles, France à partir d'échantillons prélevés sur 246 patientes incluses dans l'essai clinique randomisé PACS 01 (détaillé après).

• Principal critère d'efficacité : survie libre de métastase à 5 ans.

• Les deux startégies AT et GEN produisent une efficacité similaire sur la base de ce critère.







Marino, Siani, et al., Breast Cancer Research and Treatment, 2011.

Résultats de l'analyse de sensibilité :

- GEN est plus coût-efficace si le prix du test génomique est inférieur à 2,090 €.
- A-T est plus coût-efficace si le prix du test génomique est supérieur à 2,919 €.
- Si on considère une baisse de 30% du docetaxel (dû au passage au génériquee),
 - **❖GEN est plus coût-efficace** si le prix du test génomique est dans l'intervalle :[0 €–1,139 €]
 - ❖Alors que AT est plus coût-efficace si le prix du test génomique est supérieur à 1,891 €.



Les types d'analyse de sensibilité

On distingue 4 types d'analyse de sensibilité :

- Analyse univariée
- Analyse multivariée
- Analyse de scénario
- Analyse de seuil



Les types d'analyse de sensibilité

Analyse univariée :

On fait varier une à une les estimations de chaque paramètre afin d'en étudier l'impact sur les résultats

Analyse multivariée (plus sophistiquée) :

Elle identifie **plusieurs** paramètres incertains et chacun peut varier dans un intervalle précisé

→ Plus réaliste s'il n'y a que quelques paramètres incertains, sinon le nombre de combinaisons possibles devient rapidement très important.



Les types d'analyse de sensibilité

Analyse de scénario

On définit une série de scénarios qui représentent un sous-ensemble de l'analyse multivariée.

En général, on y inclut :

- l'analyse primaire (la plus vraisemblable),
- l'hypothèse la plus pessimiste (la pire),
- et l'hypothèse la plus optimiste (la meilleure).

Analyse de seuil

On identifie des valeurs seuils pour des paramètres importants pour la décision.



II-2 Incertitude liée aux fluctuations d'échantillonnage

Un exemple d'essai clinique : PACS01



Un exemple d'essai clinique : PACS01

- Stratégies comparées
 - chimiothérapie innovante : anthracyclines + taxanes (3 cycles de FEC 100 suivis de 3 cycles of docetaxel)
 - chimiothérapie standard : anthracyclines seules (6 cycles de FEC100), pour des patientes avec un cancer du sein à un stade avancé
- 1999 patientes incluses dans l'essai clinique randomisé PACS 01 entre 1997 et 2000, dans 85 centres en France et en Belgique
- Principaux critères d'efficacité : survie sans rechute à 5 ans,
 survie globale à 5 ans.



Un exemple d'essai clinique : PACS01 Les décision avec et sans traitement de l'incertitude

• Sans traitement de l'incertitude (liée à l'échantillonnage)

- **Décision :** nouveau programme coût-efficace adopté
- Avec traitement de l'incertitude

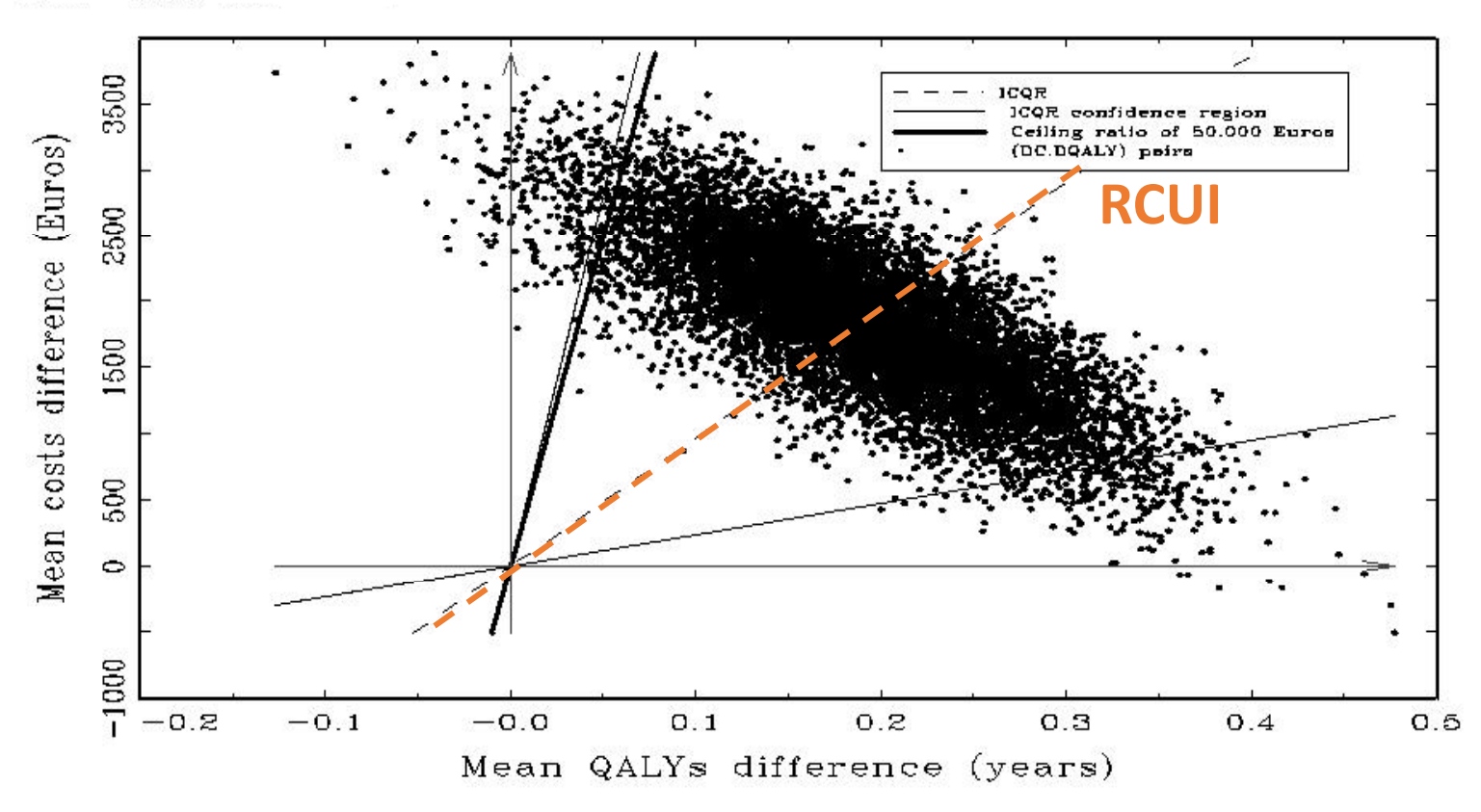
IC à 95% =
$$[2 \ 372 \in, 55 \ 515 \in]$$

Décision : conclusion **pas directe** et dépend du ratio seuil que la société est disposée à payer



Régions de Confiance du RCEI

Traitements: anthracyclines + docetaxel vs anthracyclines



Marino, P., Siani, C., et al., 2010, "Cost-effectiveness of adjuvant docetaxel for node-positive breast cancer patients: results of the PACS 01 economic study". Annals of Oncology. 21(7), 1448–1454.



III Le Ratio Coût-Efficacité Incrémental (RCEI)

III-1 les règles de décision dans le plan CE avec et sans traitement de l'incertitude

III-2 Les méthodes de traitement de l'incertitude autour du RCEI



Définition du RCEI

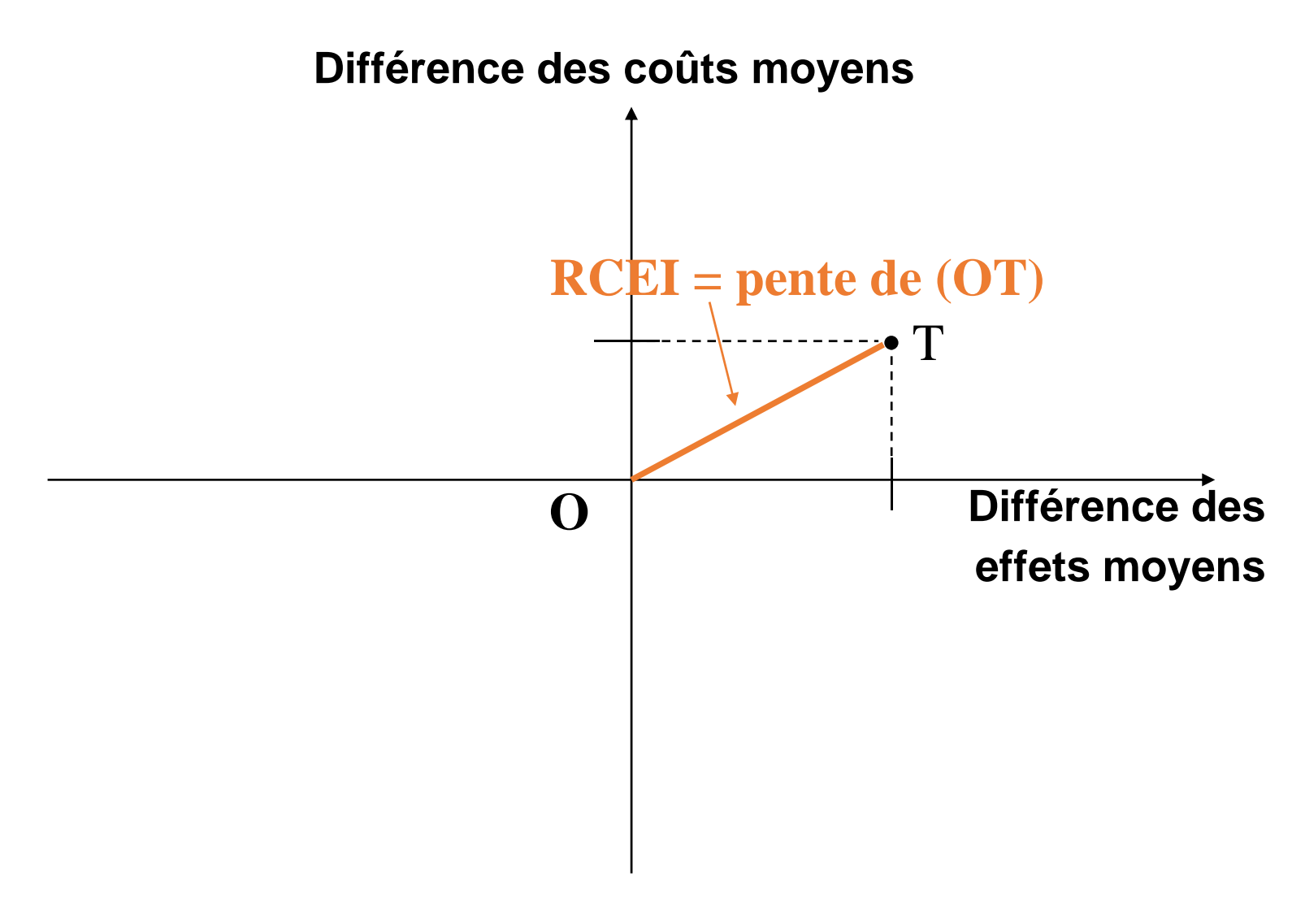
 Le ratio coût-efficacité incrémental est définit comme suit :

RCEI = différence des coûts moyens / différence des effets moyens entre deux programmes.

- C'est une mesure de la productivité d'un programme de santé.
- La nature mathématique (ratio de variables aléatoires) de cet indicateur pose problèmes pour prendre en compte l'incertitude.



Représentation graphique du RCEI





III-1 Les règles de décision dans le plan CE avec et sans traitement de l'incertitude



Les règles de décision sans traitement de l'incertitude

Différence des coûts moyens

Nouveau programme (T_1) moins efficace et plus coûteux $\Rightarrow (T_1)$ dominé et (T_0) conservé

Nouveau programme (T₁) plus efficace et plus coûteux

()

Différence des effets moyens

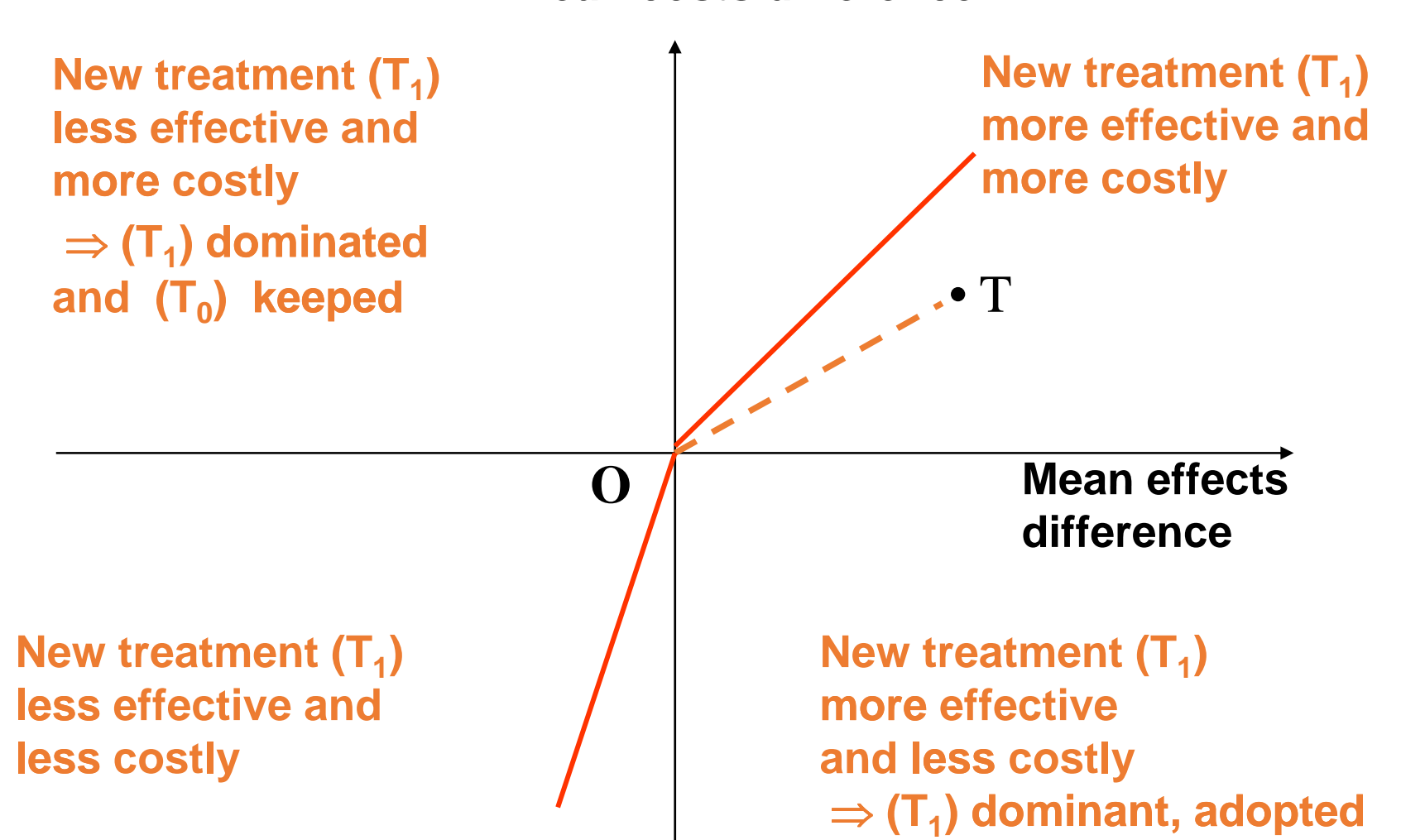
Nouveau programme (T₁) moins efficace et moins coûteux

Nouveau programme (T₁) plus efficace et moins coûteux ⇒ (T₁) dominant adopté



Les règles de décision sans traitement de l'incertitude

Mean costs difference



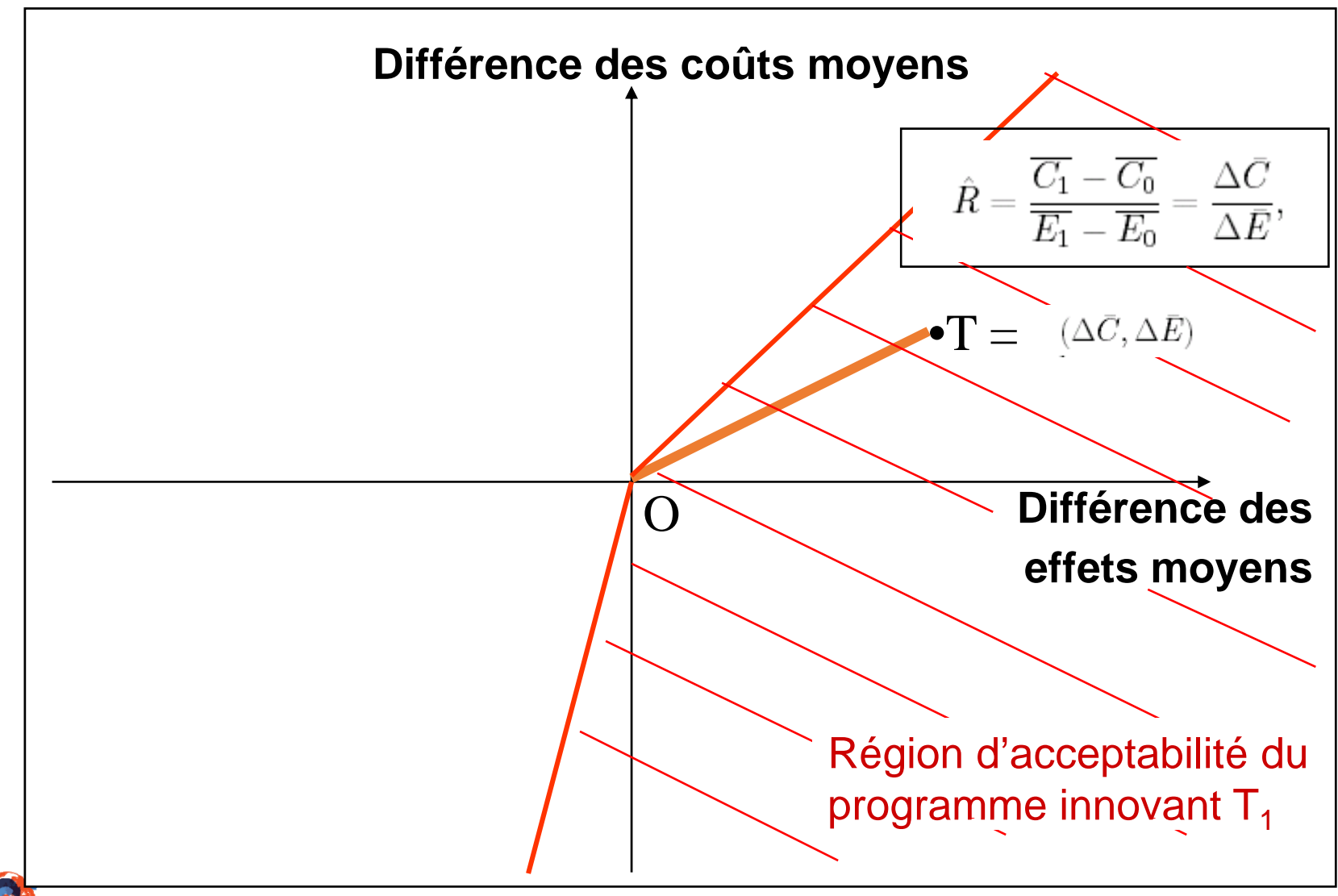


Détermination de la frontière d'acceptabilité

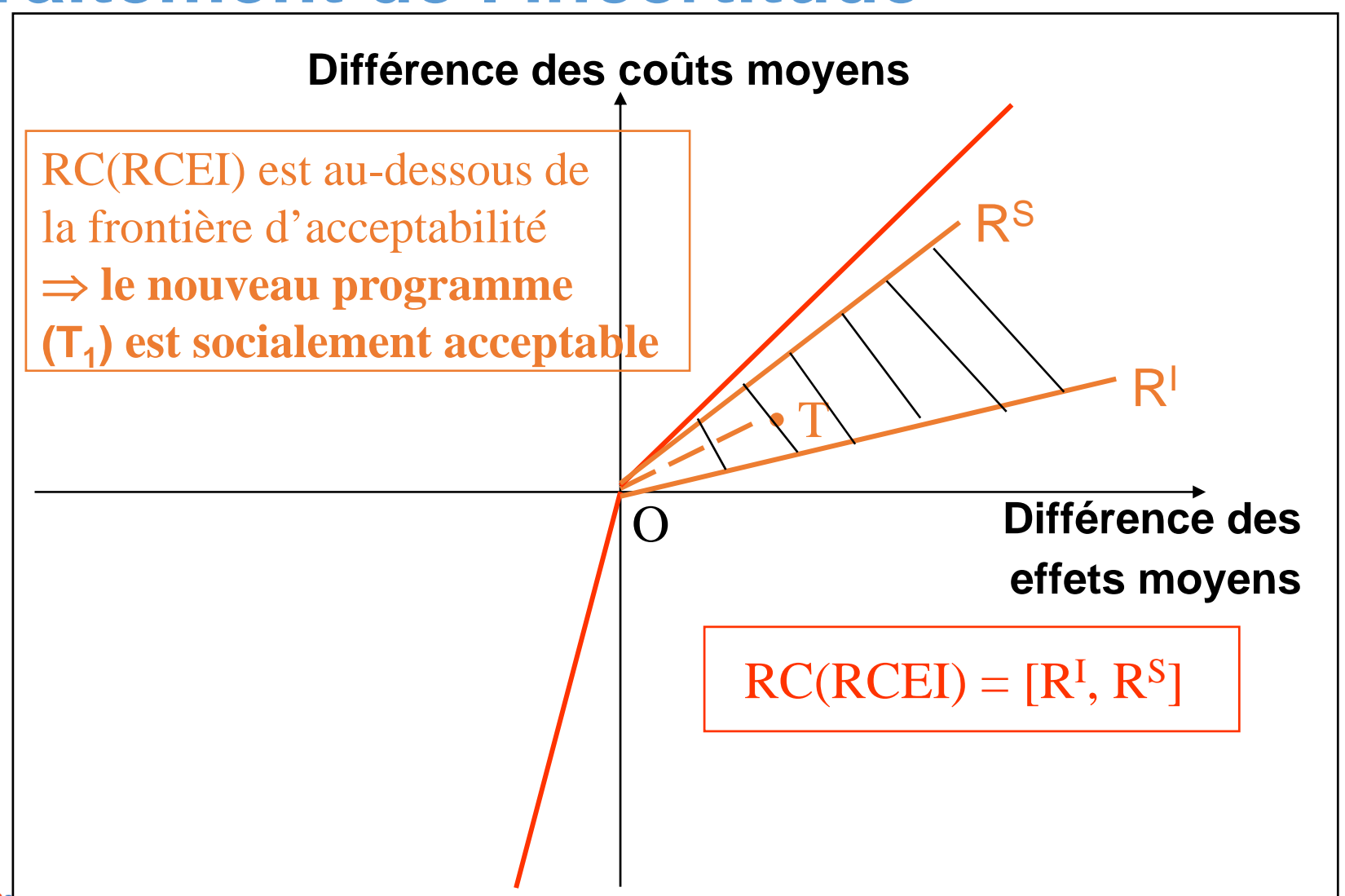
- De manière exogène par la donnée :
 - d'une contrainte de budget,
 - du prix fictif (ou ratio seuil) que la société est disposée à payer par unité d'efficacité.



Les règles de décision sans traitement de l'incertitude

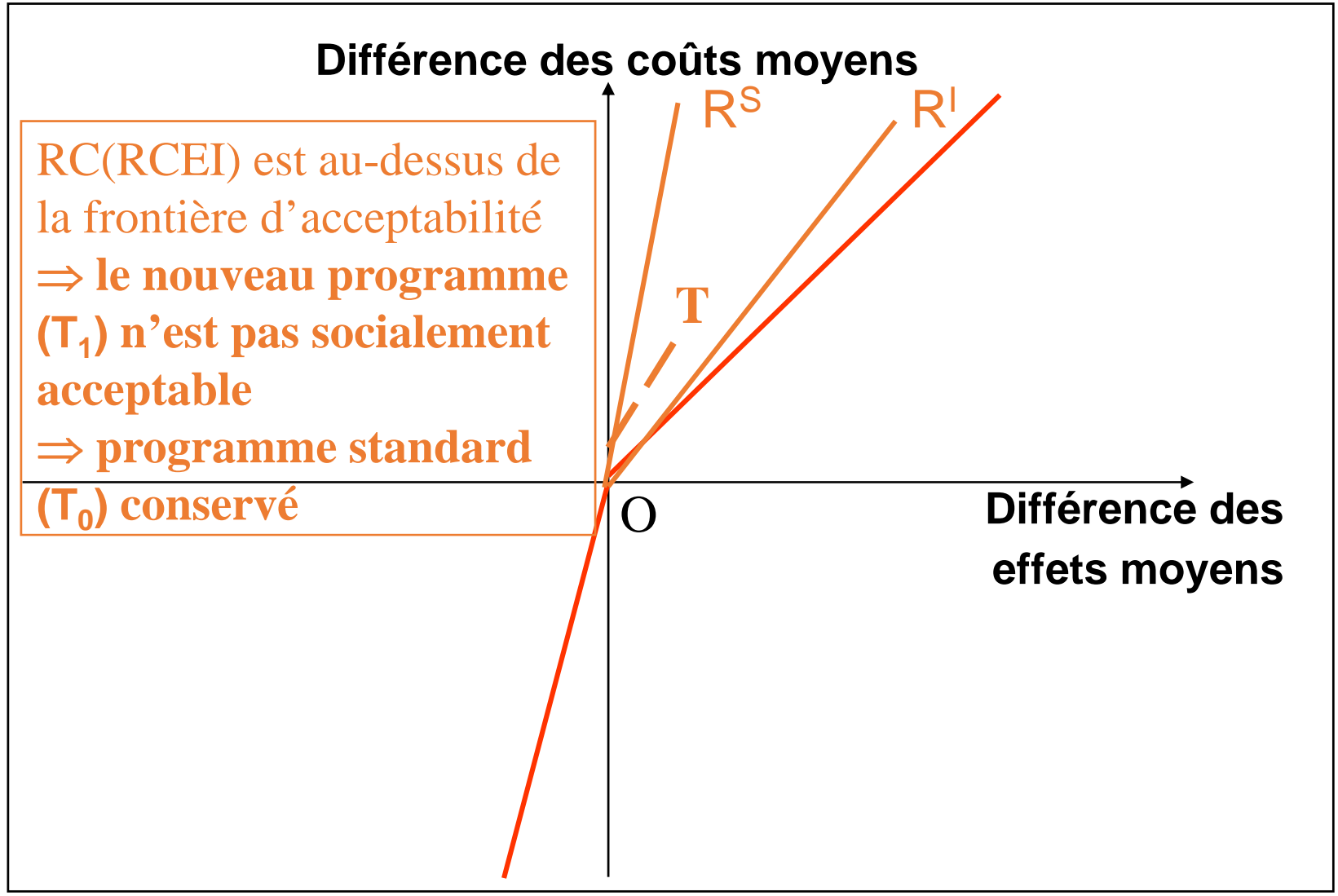


Les règles de décision avec traitement de l'incertitude



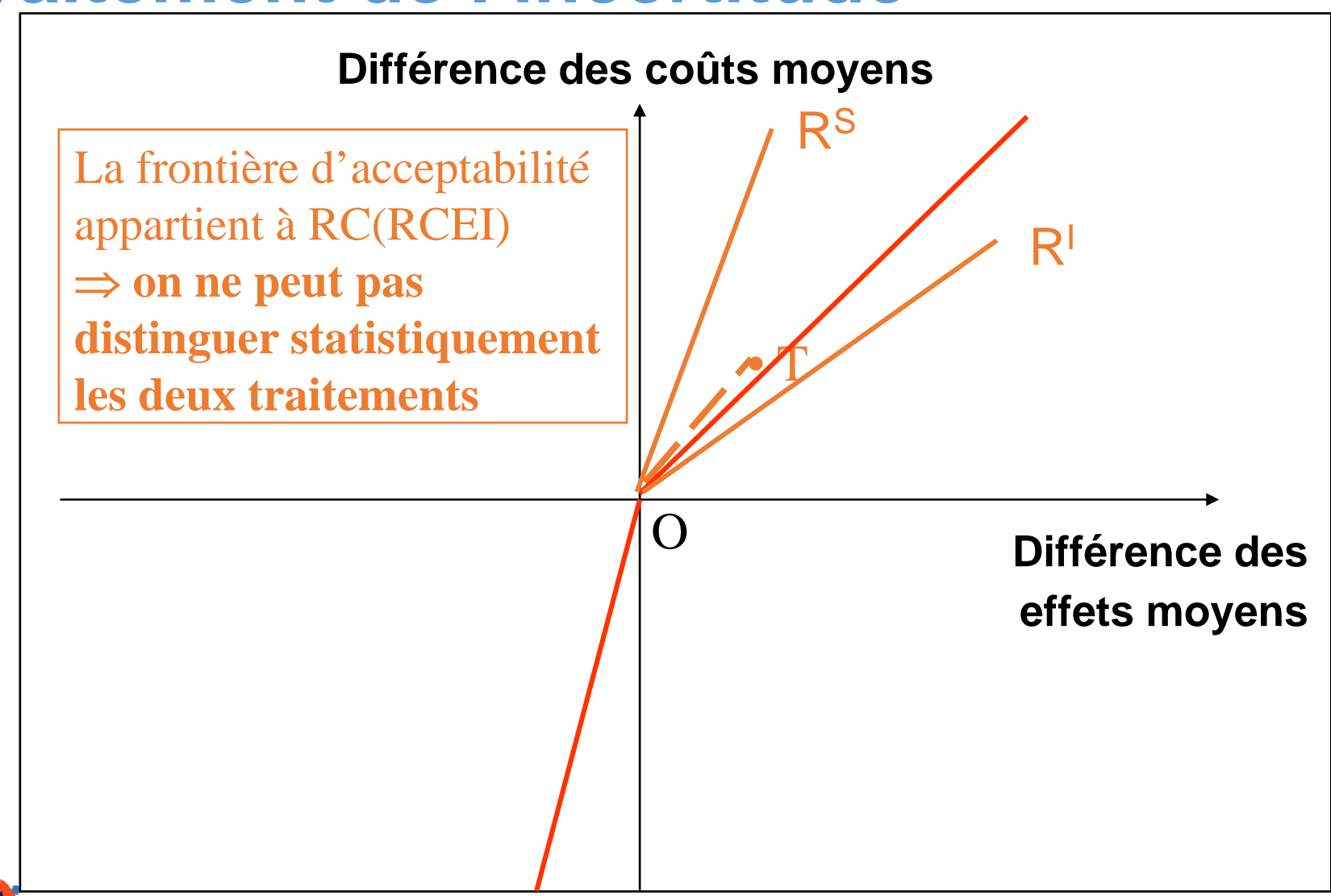


Les règles de décision avec traitement de l'incertitude





Les règles de décision avec traitement de l'incertitude





III-2 Méthodes de traitement de l'incertitude autour du RCEI



Le traitement de l'incertitude du RCEI

Il s'agit de résoudre deux problèmes simultanément :

- 1. un problème mathématique d'instabilité des méthodes de calcul dans les cas problématiques où :
- le dénominateur du ratio s'approche de zéro statistiquement
- le couple (différence des coûts moyens, différence des efficacité moyens) s'approche de zéro statistiquement
- ce sont des cas de figures arrivant fréquemment dans la pratique de l'évaluation économique.
- 2. un problème d'utilisation de ces régions de confiance pour la prise de décision qui est loin d'être directe :
- la région de confiance fournie par le calcul mathématique n'est pas directement utilisable pour la prise de décisions
- le même RCEI peut correspondre à deux décisions opposées
 (nécessitant un développement algorithmique important).

Résolution du problème mathématique



Deux types de méthodes :

- méthodes basées sur la densité du RCEI
- → méthodes bootstrap paramétrique et non paramétrique (percentile, double bootstrap-t et BCA),
- méthodes basées sur la densité du couple (différence des coûts moyens, différence des effets moyens) :
- → méthode de Fieller.



Méthodes de calcul : Méthodes bootstrap (1)

Bootstrap paramétrique :

Générer **une** réplication Bootstrap

$$(\Delta \bar{C}^*, \Delta \bar{E}^*)$$
 suivant une loi normale bivariée

Bootstrap non paramétrique :

A partir des données

$$\{(C_1, E_1), (C_0, E_0)\},\$$

Tirer avec remise

$$n_1$$
 (C_1^*, E_1^*) et n_0 (C_0^*, E_0^*)

pour calculer
$$\{(\overline{C}_1',\ \overline{E}_1'), (\overline{C}_0',\ \overline{E}_0')\}$$

$$\widehat{R}^* = \frac{\Delta C^*}{\Delta \overline{E^*}} .$$

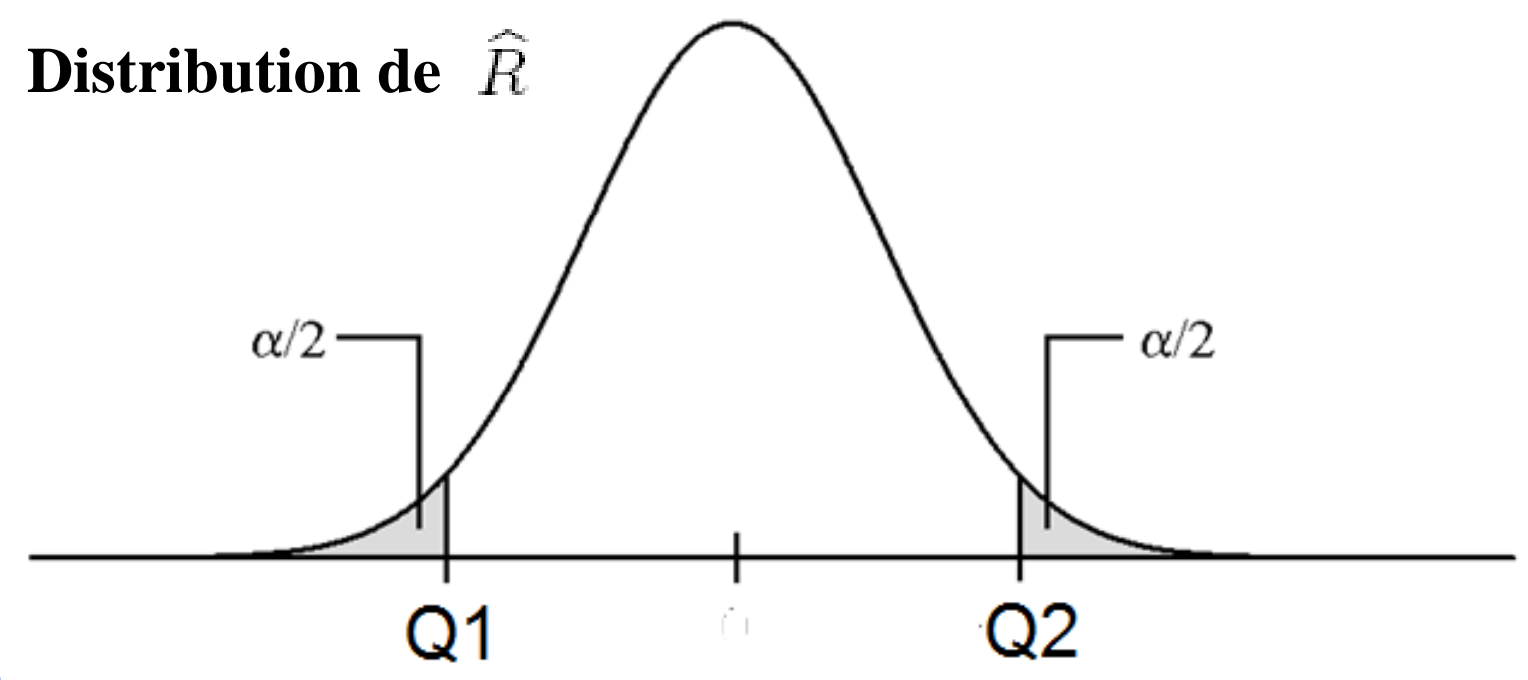


$$(\widehat{R_1^*}, \dots, \widehat{R_B^*})$$

Distribution bootstrap de \widehat{R}

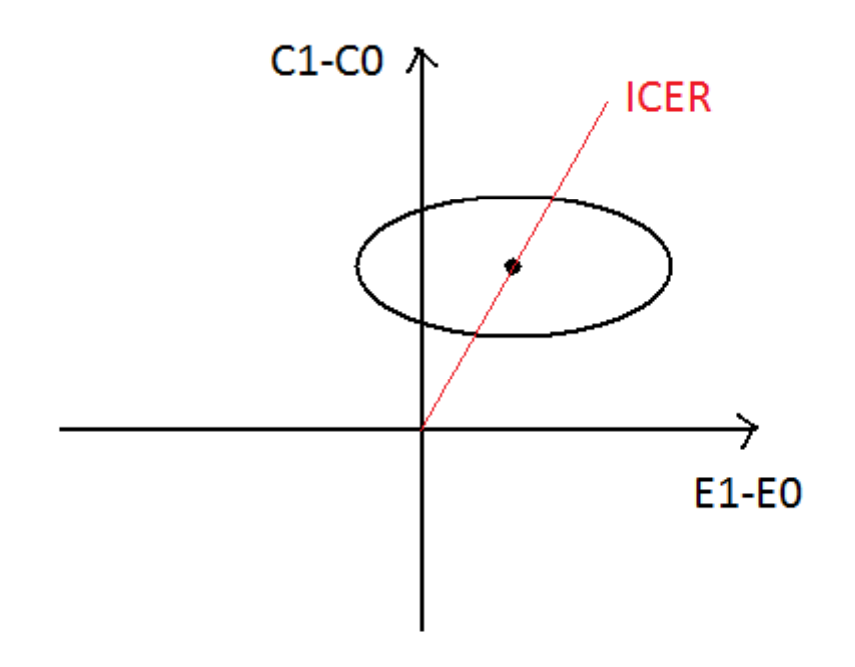
Méthodes de calcul : Méthodes bootstrap (2)

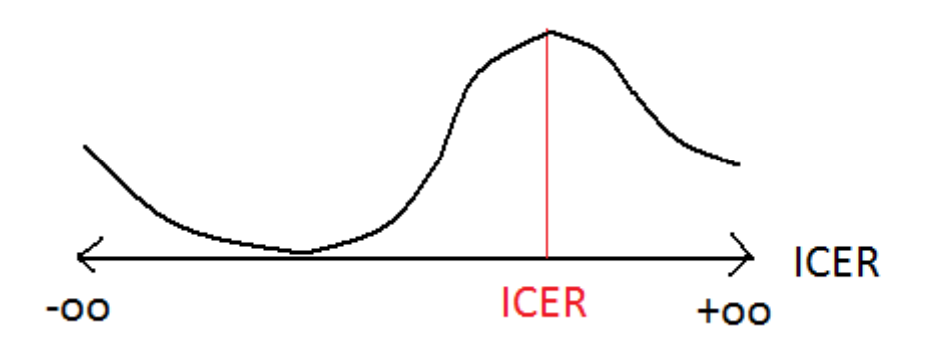
- Méthode percentile
- Méthode percetile-t (+ correction du biais)
- Méthode BCA (+ correction de l'asymétrie)





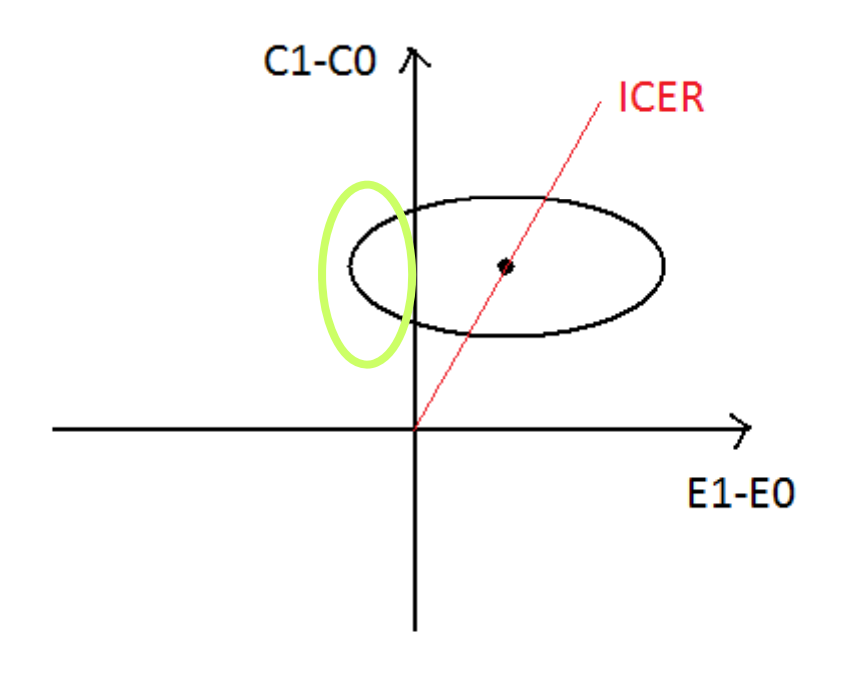
Méthodes bootstrap ré-ordonnées

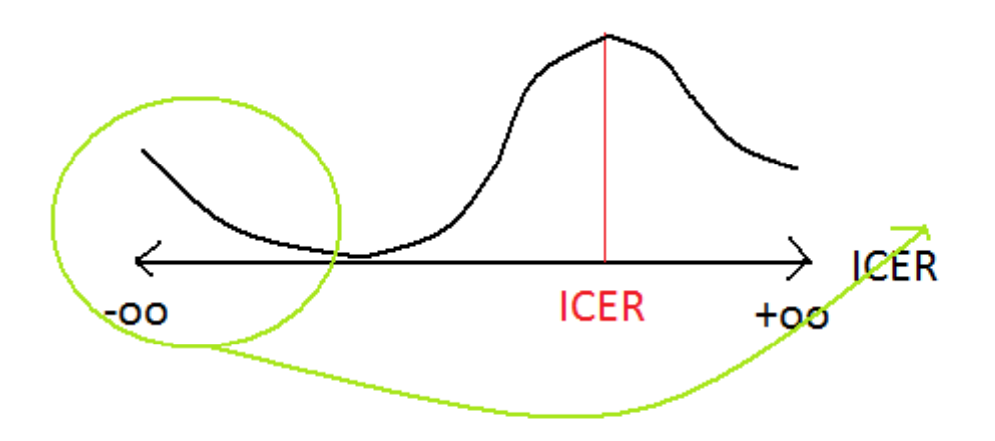






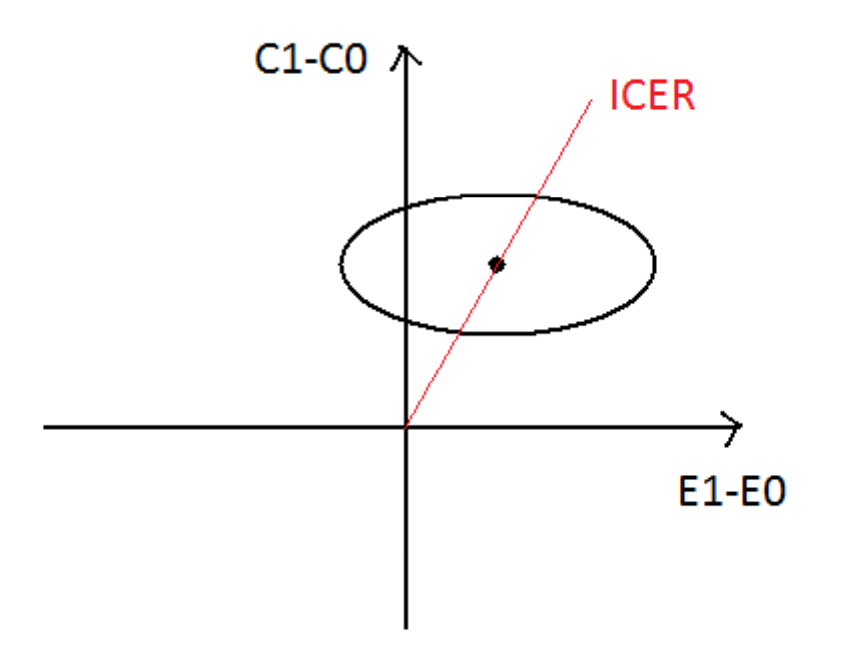
Méthodes bootstrap ré-ordonnées

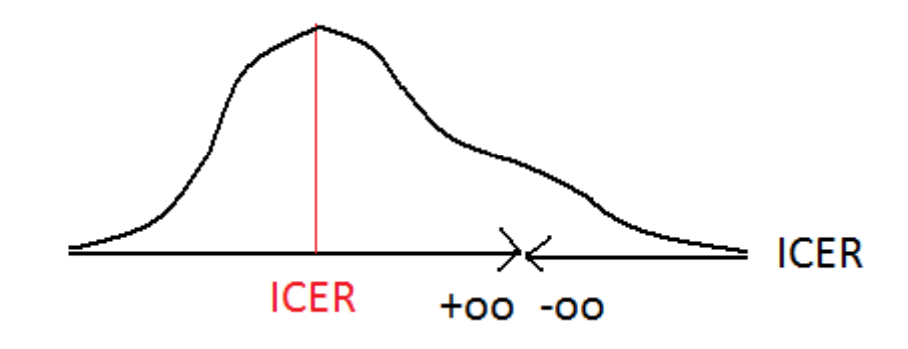






Méthodes bootstrap ré-ordonnées





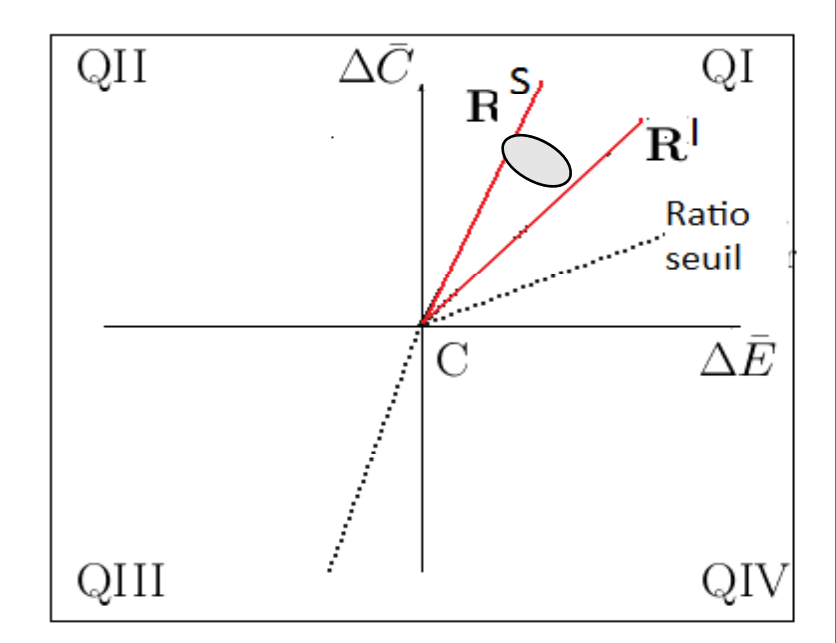


- Méthodes basées sur la densité du RCEI (méthodes bootstrap) inapplicables dans les cas :
 - * RCEI de la forme "1/0",
 - RCEI de la forme "0/0",
 - très instables dans ces cas,
 - excluent des régions de forme non standard.
- Solution : méthode de Fieller (analytique).

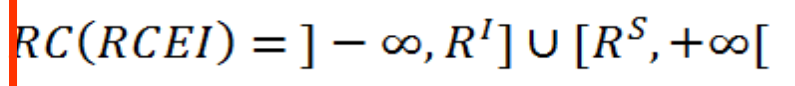


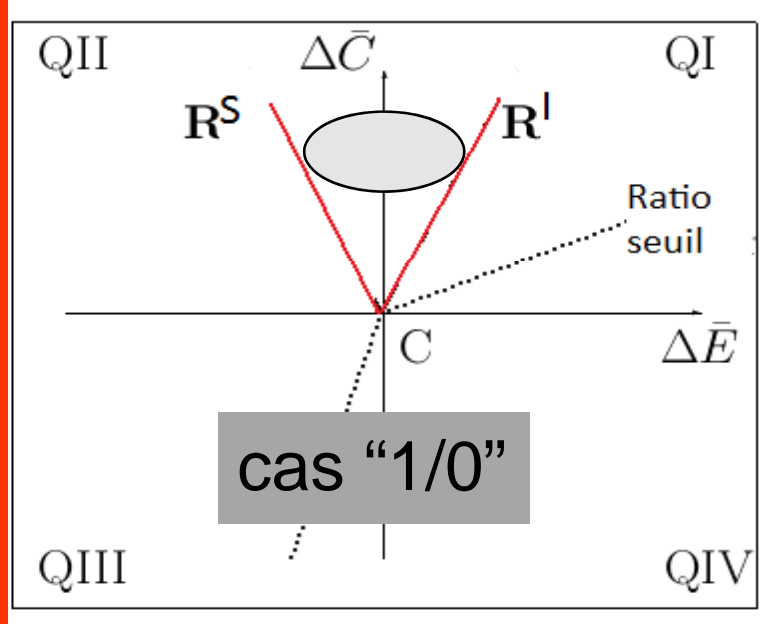
Méthodes de calcul

$$RC(RCEI) = [R^I, R^S]$$

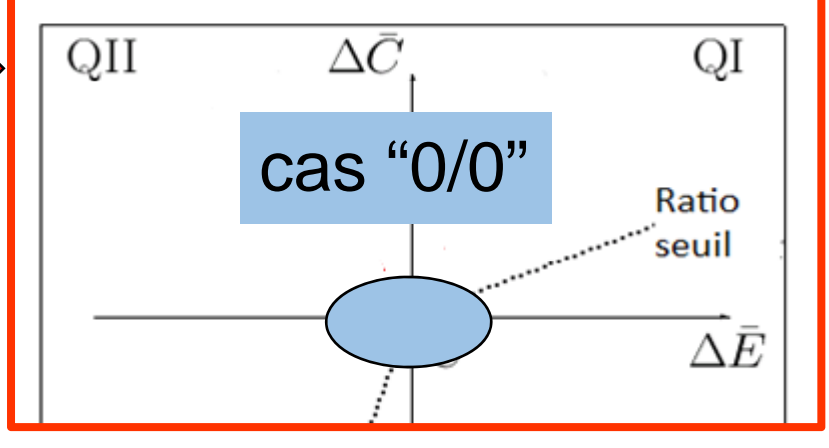








RC(RCEI) = IR





Méthodes de calcul : La méthode de Fieller (1)

Nous supposons que :

$$X = \begin{pmatrix} X_1 \\ X_2 \end{pmatrix} \sim N(\eta,\Omega) \text{ avec } \eta = \begin{pmatrix} \eta_1 \\ \eta_2 \end{pmatrix} \text{ et } \Omega = \begin{pmatrix} \omega_1^2 & \omega_{12} \\ \omega_{12} & \omega_2^2 \end{pmatrix}$$

Nous voulons déterminer une région de confiance de niveau $(1-\alpha)$ pour $\rho=\frac{\eta_1}{\eta_2}$.

Pour cela, nous construisons la statistique : $\mathbf{Z} = \mathbf{X_1} - \rho \mathbf{X_2}$,

$$\begin{split} \frac{Z^2}{\omega_1^2 + \rho^2 \omega_2^2 - 2\rho \, \omega_{12}} &\sim \chi^2(1) \text{ sous } (H_0) : \rho = \frac{\eta_1}{\eta_2}, \\ P\left((X_1 - \rho X_2)^2 - k_{1-\alpha} (\omega_1^2 + \rho^2 \omega_2^2 - 2\rho \, \omega_{12}) \leq 0 \right) = 1 - \alpha. \end{split}$$



Méthodes de calcul : La méthode de Fieller (2)

Pour trouver une région de confiance de niveau $(1-\alpha)$, nous devons résoudre :

οù

$$\mathbf{Q}(\rho) \leq \mathbf{0},$$

$$\begin{split} Q(\rho) &= x \rho^2 + y \rho + z, \\ \text{with } x &= X_2^2 - k_{1-\alpha} \omega_2^2, \\ y &= 2(k_{1-\alpha} \omega_{12} - X_1 X_2), \\ z &= X_1^2 - k_{1-\alpha} \omega_1^2. \end{split}$$

Application au RCEI:

 $X_1 = \text{différence des coûts moyens} = \mu_{\Delta C}$ $X_2 = \text{différence des effets moyens} = \mu_{\Delta E}$



Méthodes de calcul : La méthode de Fieller (3)

Les racines du polynôme Q (notées ${\cal R}^L$ and ${\cal R}^U$) sont données par les formules suivantes :

$$R^{L} = \frac{X_{1}X_{2} - k_{1-\alpha}\omega_{12} - \sqrt{(k_{1-\alpha}\omega_{12} - X_{1}X_{2})^{2} - (X_{2}^{2} - k_{1-\alpha}\omega_{2}^{2})(X_{1}^{2} - k_{1-\alpha}\omega_{1}^{2})}}{X_{2}^{2} - k_{1-\alpha}\omega_{2}^{2}},$$
(1)

$$R^{U} = \frac{X_{1}X_{2} - k_{1-\alpha}\omega_{12} + \sqrt{(k_{1-\alpha}\omega_{12} - X_{1}X_{2})^{2} - (X_{2}^{2} - k_{1-\alpha}\omega_{2}^{2})(X_{1}^{2} - k_{1-\alpha}\omega_{1}^{2})}}{X_{2}^{2} - k_{1-\alpha}\omega_{2}^{2}}.$$
(2)



Les formes des régions de confiance obtenues avec la méthode de Fieller (1)

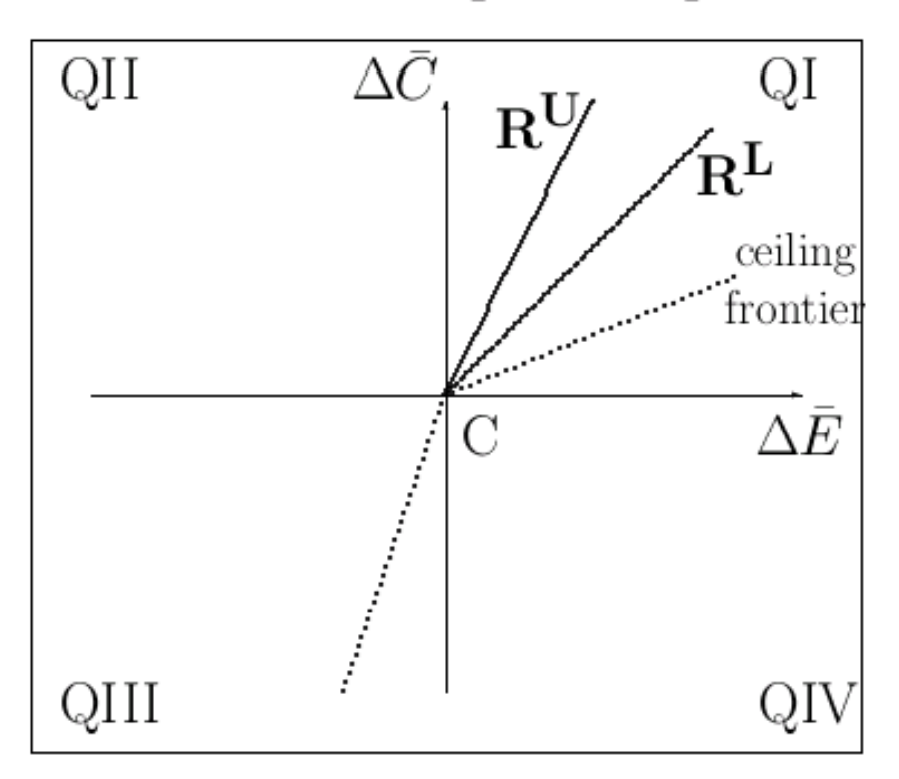
	$\Delta < 0$	$\Delta = 0$	$\Delta > 0$
x > 0	cas impossible	cas impossible	$\left[R^L, R^U\right]$
x = 0	cas impossible	\mathbb{R}	demi-droite
x < 0	\mathbb{R}	\mathbb{R}	$(-\infty,R^U] \cup [R^L,+\infty)$

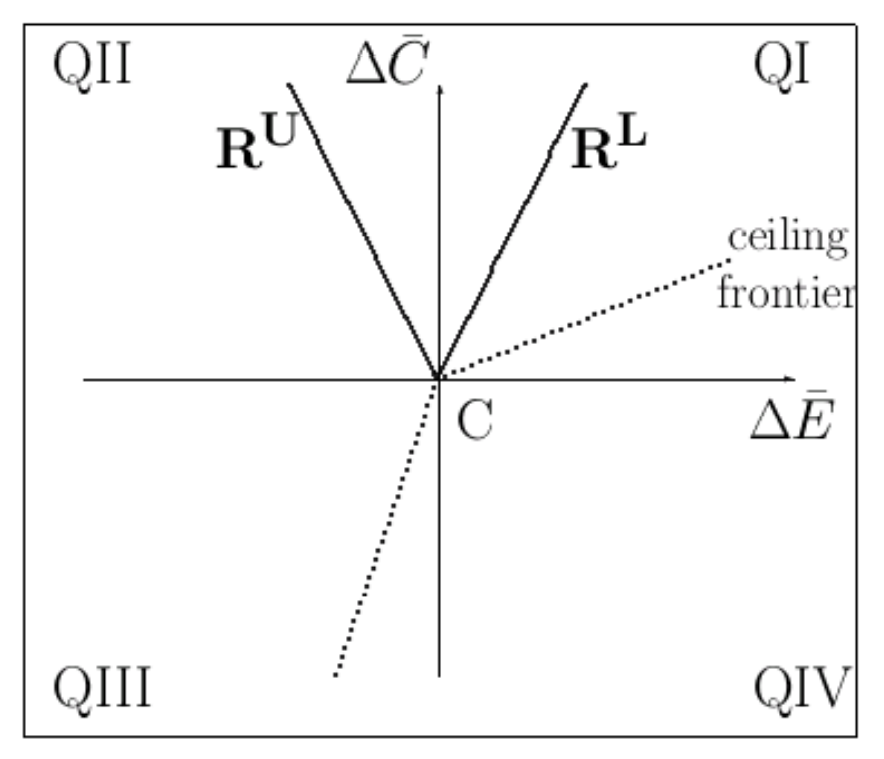


Les formes des régions de confiance obtenues avec la méthode de Fieller (2)

$$CR(R) = [R^L, R^U]$$

$$\mathbf{CR}(\mathbf{R}) = \left(-\infty, \mathbf{R}^{\mathbf{U}}\right] \cup \left[\mathbf{R}^{\mathbf{L}}, +\infty\right)$$







Algorithme de la méthode de Fieller

Pour construire une région de confiance du RCEI avec la méthode de Fieller, on procède comme suit :

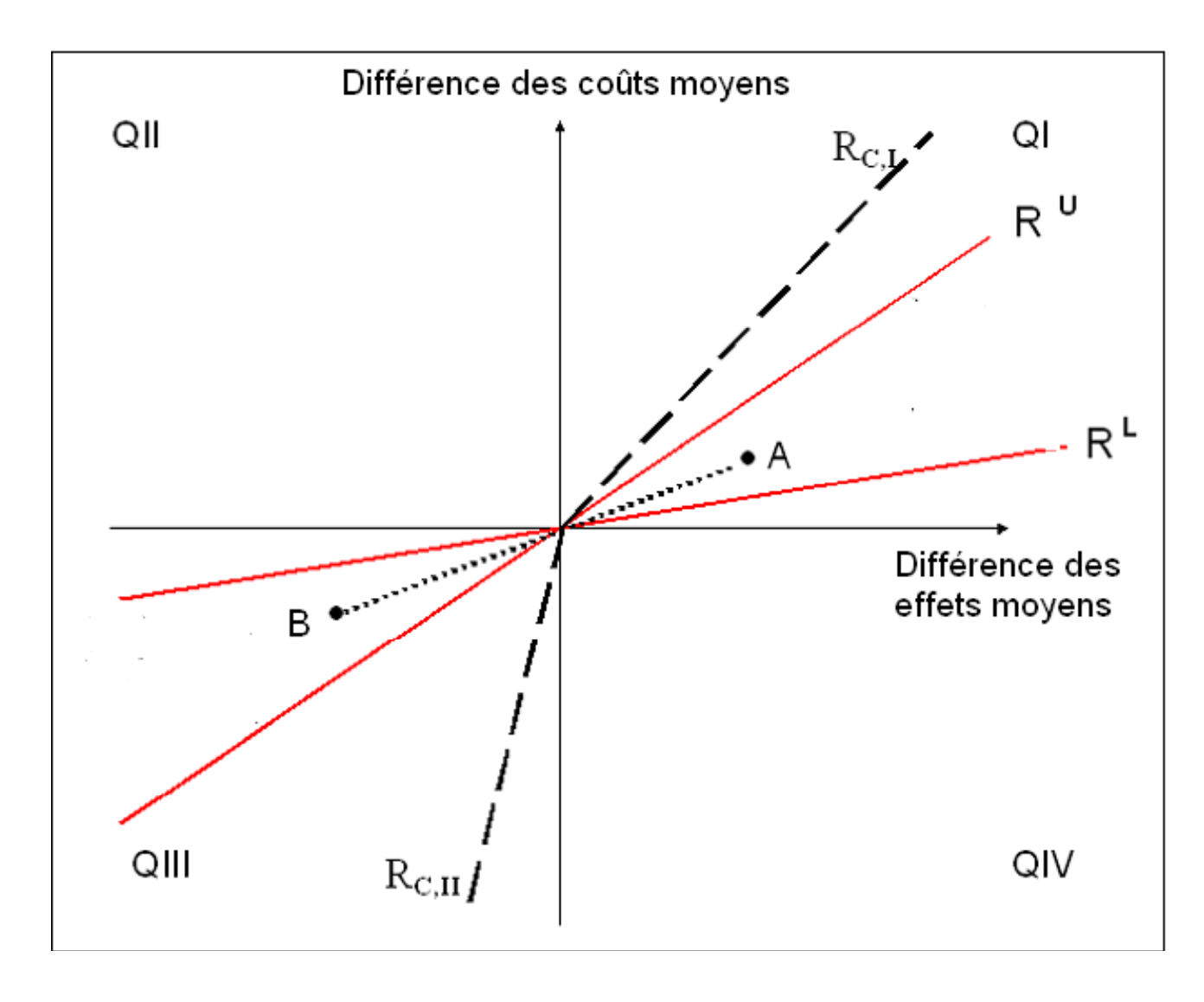
- 1) Déterminer un (ou plusieurs) niveau(x) de confiance
- **2)** Calculer le discriminant du polynôme Δ . Si $\Delta < 0$, la région de confiance obtenue est la droite réelle et c'est fini.
- 3) Si Δ > 0, calculer la moyenne et la matrice de variance-covariance de $(\Delta \bar{C}, \Delta \bar{E})$
- 4) Calculer les coefficients du polynôme x, y et z.
- 5) Calculer les racines du polynômes Q.
- 6) Déterminer la forme de la région de confiance selon le signe de x.



Résolution du problème de décision

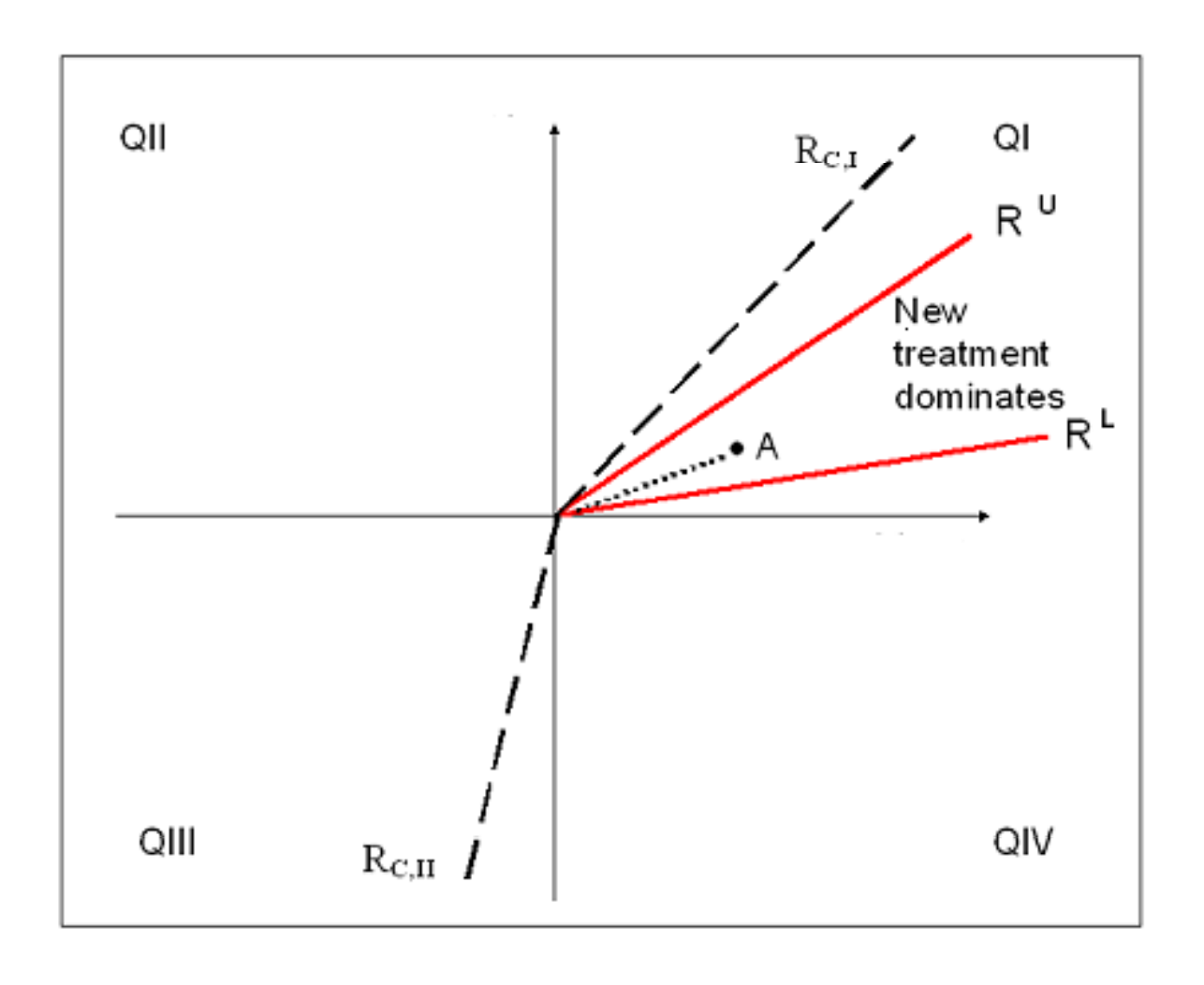


Le problème de la décision-miroir



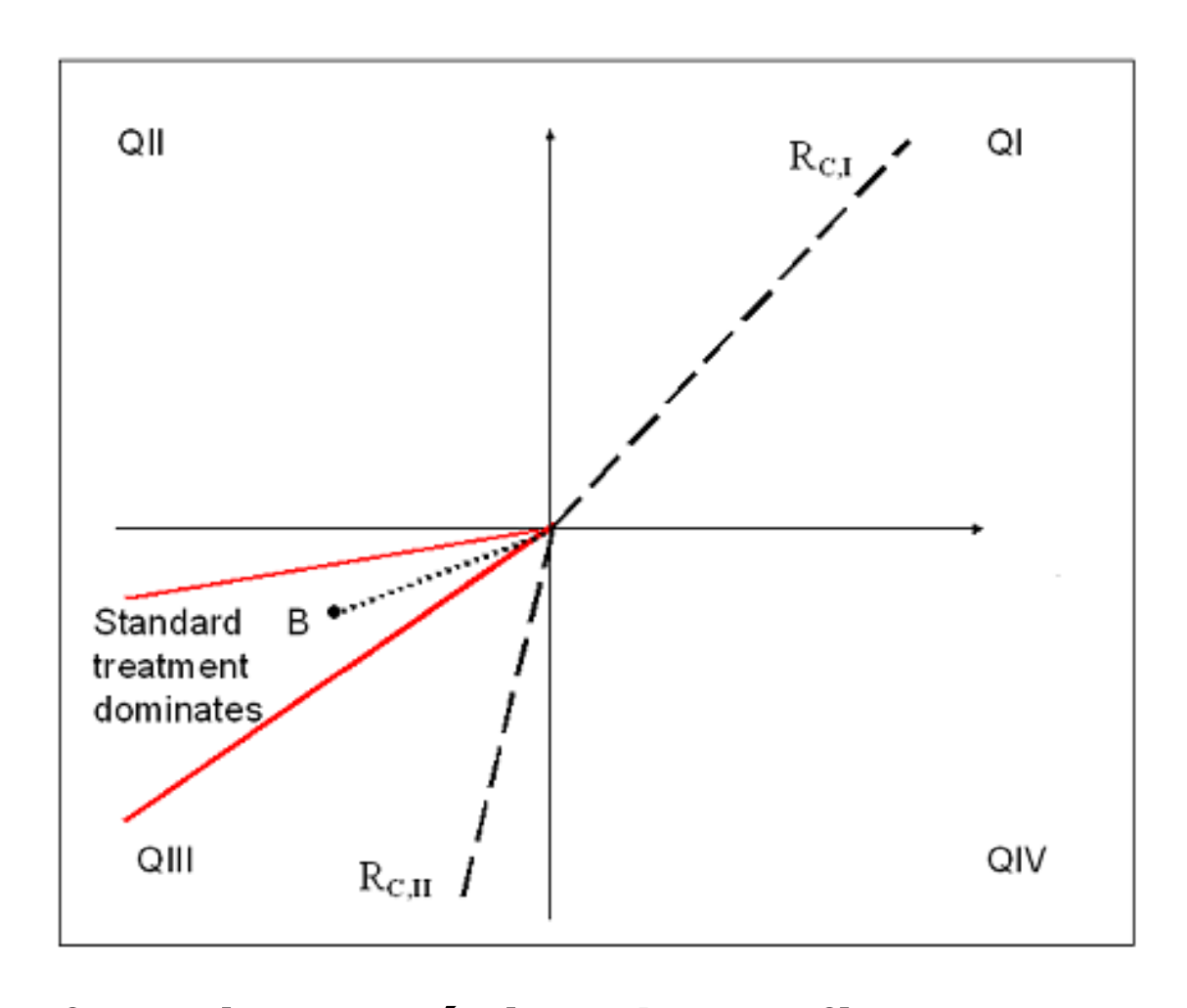
⇒ région fournie par le calcul pas directement utilisable

Le problème de la décision-miroir



⇒ fournir une région de confiance sous forme d'un simple secteur orienté

Le problème de la décision-miroir



⇒ fournir une région de confiance sous forme d'un simple secteur orienté

Résolution du problème mathématique et du problème de décision



Algorithme de la méthode de Fieller *tronqu*ée

Pour construire une région de confiance du RCEI :

- 1) Déterminer un (ou plusieurs) niveau(x) de confiance
- 2) Calculer le discriminant du polynôme Δ . Si Δ < 0, la région de confiance est la droite réelle et c'est fini.
- 3) Si Δ > 0, calculer la moyenne et la matrice de variance-covariance de $(\Delta \bar{C}, \Delta \bar{E})$.
- 4) Calculer les coefficients du polynôme x, y et z.
- 5) Calculer les racines du polynômes Q.
- 6) Déterminer la forme de la région de confiance selon le signe de x.
- **7)** Déterminer la direction du simple secteur contenant le couple $(\Delta \bar{C}, \Delta \bar{E})$



Résultats

• La méthode de Fieller tronquée est : mathématiquement applicable et utilisable pour la décision quelle que soit la forme de la région de confiance.

- Elle est robuste dans toutes les situations :
 - différence d'effet proche de zéro,
 - données fortement asymétriques,
 - faible taille d'échantillons.



IV- Le Bénéfice Net Incrémental (BNI)

IV-1 les règles de décision dans le plan CE avec et sans traitement de l'incertitude

IV-2 Les méthodes de traitement de l'incertitude autour du BNI (BNIS et BNIM)

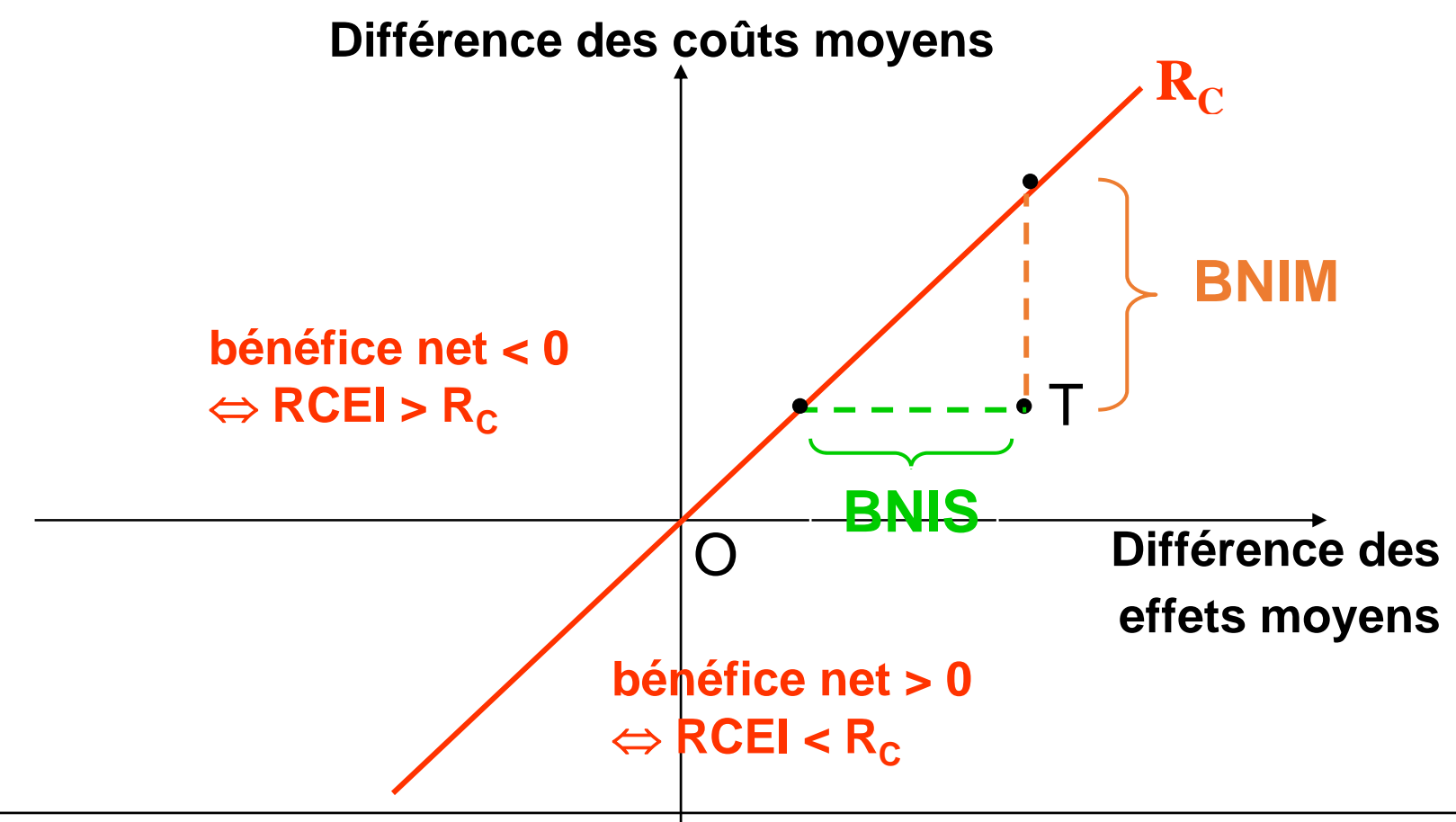


Définition du BNI

- Le bénéfice net incrémental monétaire (BNIM)
- BNIM = R_C différence des effets moyens différence des coûts moyens = $R_C \mu_{\Delta E} \mu_{\Delta C}$
- Le bénéfice net incrémental sanitaire (BNIS)
- BNIS = différence des effets movens différence des coûts moyens / R_C = $\mu_{\Delta E} \mu_{\Delta C}/R_C$
- R_C: ratio maximum que la société est disposée à payer pour une unité d'efficacité supplémentaire.



Représentation graphique du BNI



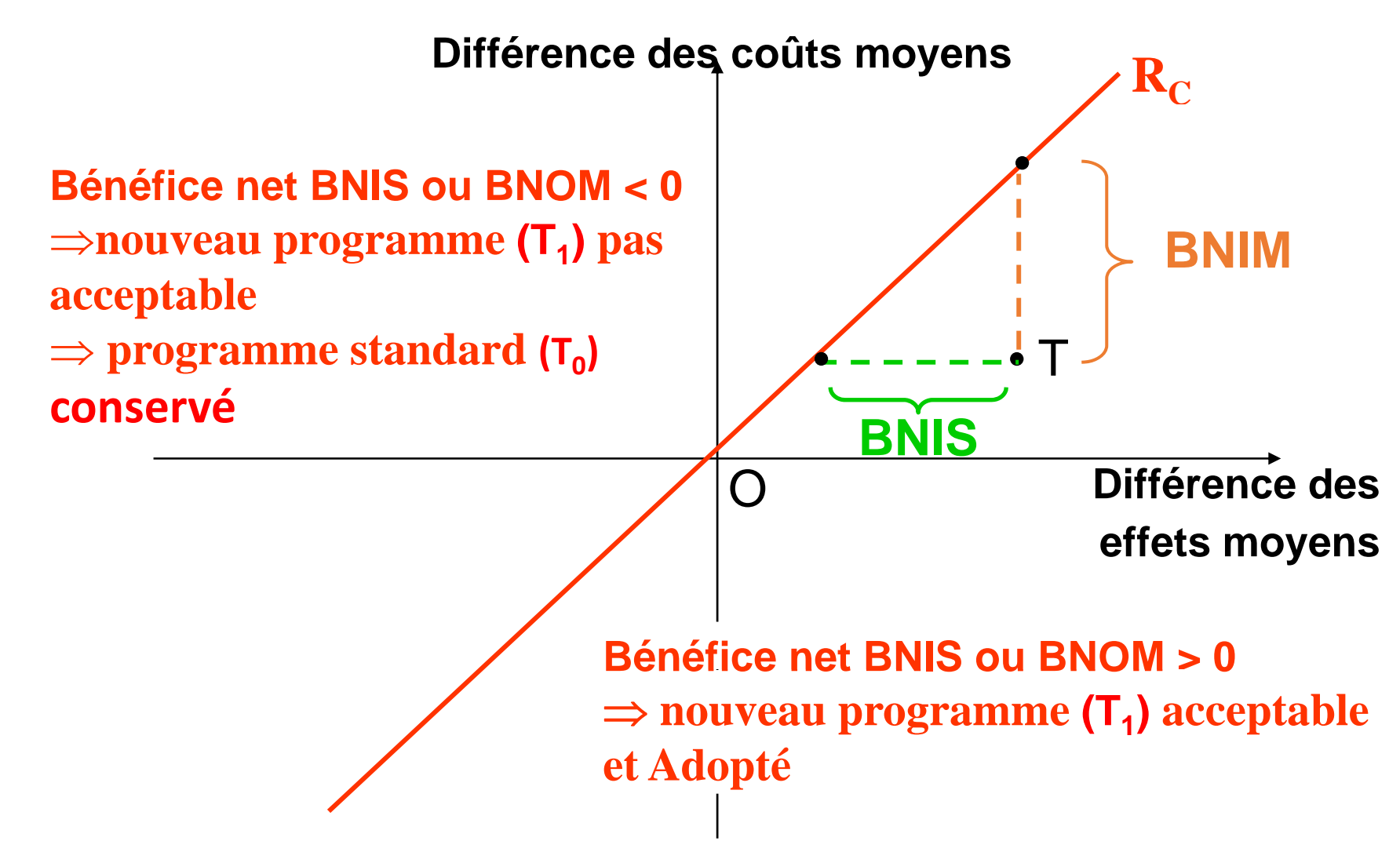
BNIM = R_C différence des effets moyens – différence des coûts moyens BNIS = différence des effets moyens – différence des coûts moyens / R_C



IV-1 Les règles de décision dans le plan CE avec et sans traitement de l'incertitude

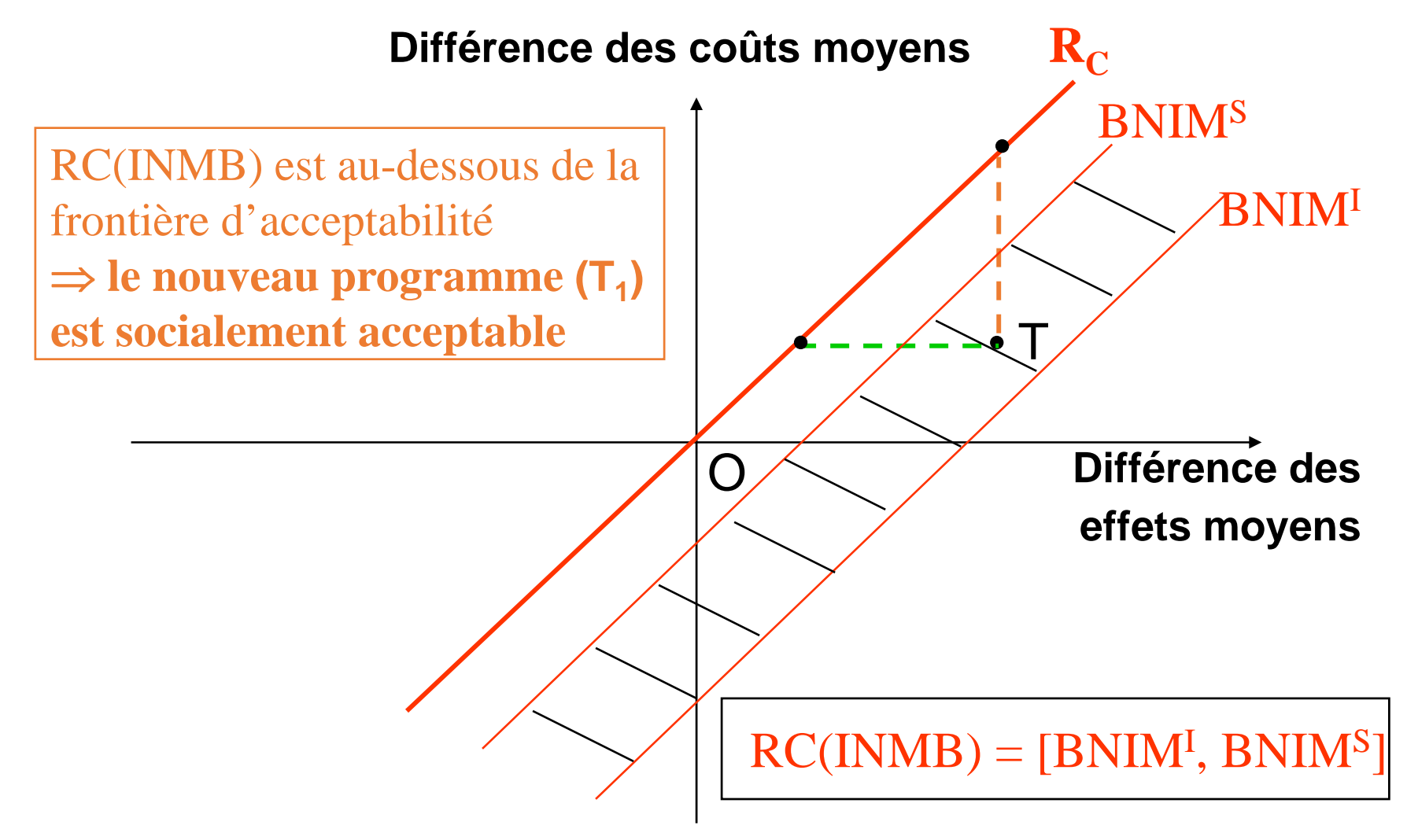


Les règles de décision sans traitement de l'incertitude



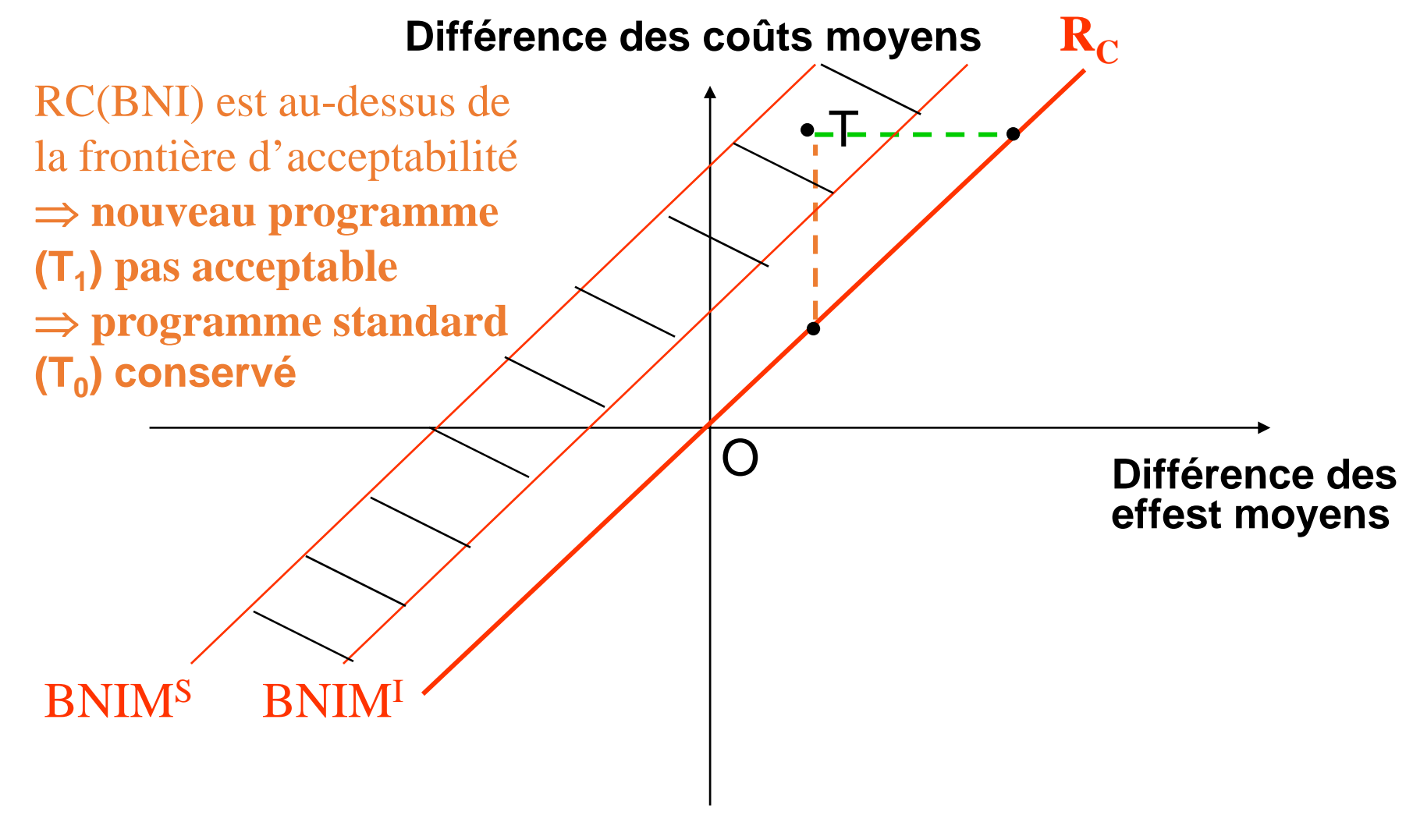


Les règles de décision avec traitement de l'incertitude





Les règles de décision avec traitement de l'incertitude





Les règles de décision avec traitement de l'incertitude

Différence des coûts moyens La frontière d'acceptabilité appartient à RC(BNI) \Rightarrow on ne peut pas distinguer statistiquement les deux traitements Différence des effets moyens **BNIM**^I



IV-2 Les méthodes de traitement de l'incertitude autour du BNI (BNIS et BNIM)



Le BNI monétaire (noté INMB) est estimé par sa moyenne empirique:

$$\widehat{INMB} = R_C (\bar{E}_1 - \bar{E}_0) - (\bar{C}_1 - \bar{C}_0).$$

Sa variance est égale à :

$$Var(\widehat{INMB}) = R_C^2 Var(\Delta \bar{E}) + Var(\Delta \bar{C}) - 2R_C cov(\Delta \bar{E}, \Delta \bar{C}),$$

$$= \sum_{j=0}^{1} \frac{1}{n_j} \left(R_C^2 \sigma_{E_j}^2 + \sigma_{C_j}^2 - 2R_C \sigma_{C_j E_j} \right),$$

Sa variance estimée :

$$\widehat{var}(\widehat{INMB}) = \sum_{j=0}^{1} \frac{1}{n_j} (R_C^2 s_{E_j}^2 + s_{C_j}^2 - 2R_C s_{C_j E_j}),$$



Approche paramétrique

$$\widehat{|INMB} \sim N\left(\widehat{INMB}, Var(\widehat{INMB})\right),$$
 TCL \Rightarrow normalité asymptotique

Un intervalle de confiance pour le BNI de couverture $(1-\alpha)$, peut être déterminé par :

$$CI(INMB) = \left(\widehat{INMB} \pm z_{(\alpha/2)} \sqrt{\widehat{var}(\widehat{INMB})}\right),$$

où $z_{(\alpha/2)}$ est le quantile d'ordre $1-(\alpha/2)$ de la loi normale standard (= 1.96 pour α = 5%).



Approche non paramétrique (méthodes bootstrap)

- 1) Tirer avec remise n_1 (resp. n_0) couples (coût, effet) dans les échantillons recevant le traitement (T_1) (resp. (T_0))
- 2) Calculer les simulations bootstrap $: \bar{C}_1^*, \bar{E}_1^*, \bar{C}_0^*$ et $\bar{E}_0^*,$
- 3) Calculer la réplication bootstrap BNIM* de BNI estimé par :

$$INMB^* = R_C(\bar{E}_1^* - \bar{E}_0^*) - (\bar{C}_1^* - \bar{C}_0^*)$$
.

4) Répéter 1. à 3. B fois pour obtenir le vecteur :

$$(INMB_1^*, \dots, INMB_B^*)$$



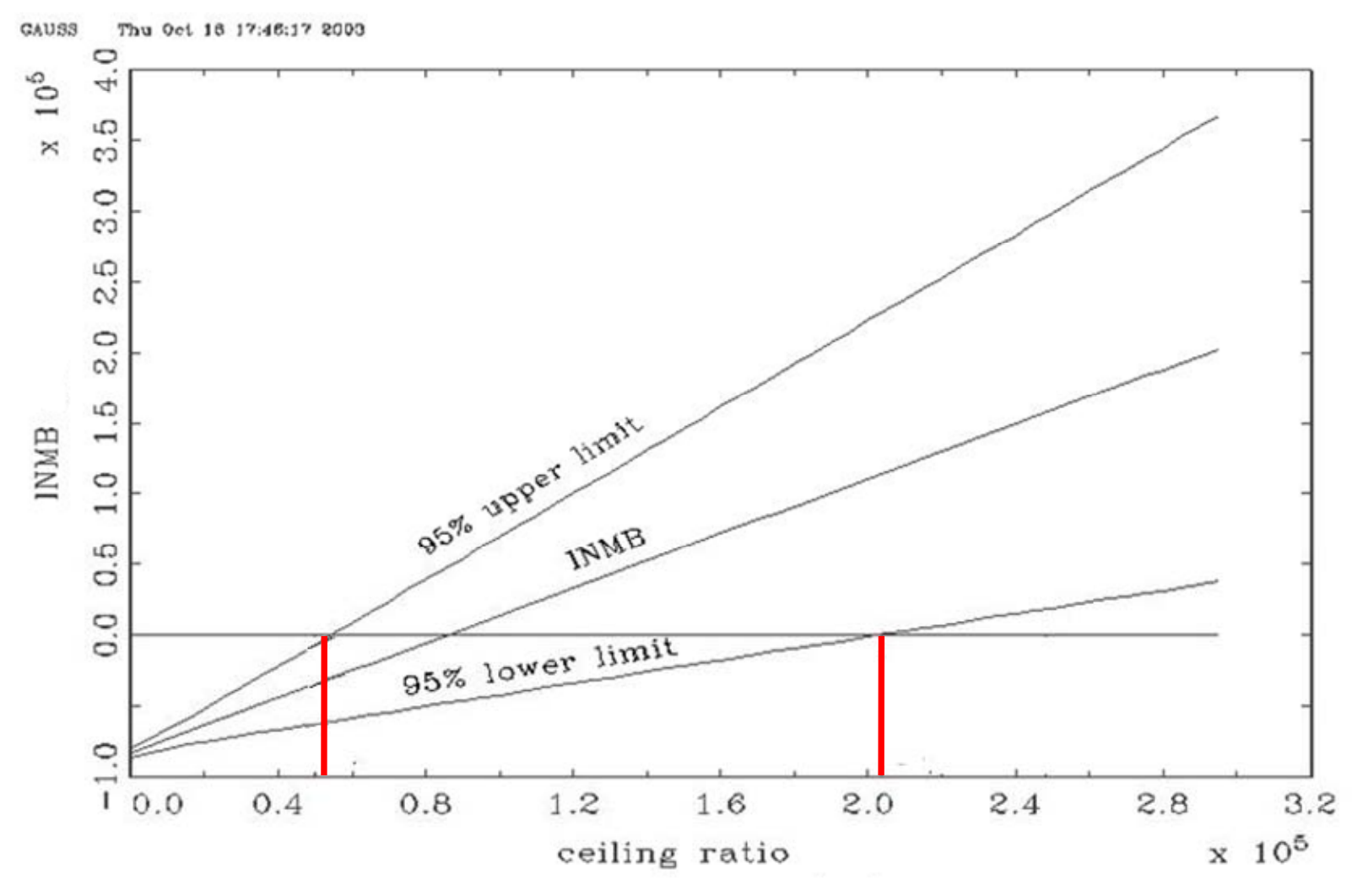
L'approche des bénéfices nets nécessite :

- la linéarité de la frontière R_C (pas réaliste)
- de donner une valeur particulière à R_C,
- car par définition le bénéfice net dépend de R_C:

BNIM = R_c différence des effets moyens – différence des coûts moyens,

BNIS = différence des effets moyens – différence des coûts moyens / R_c .



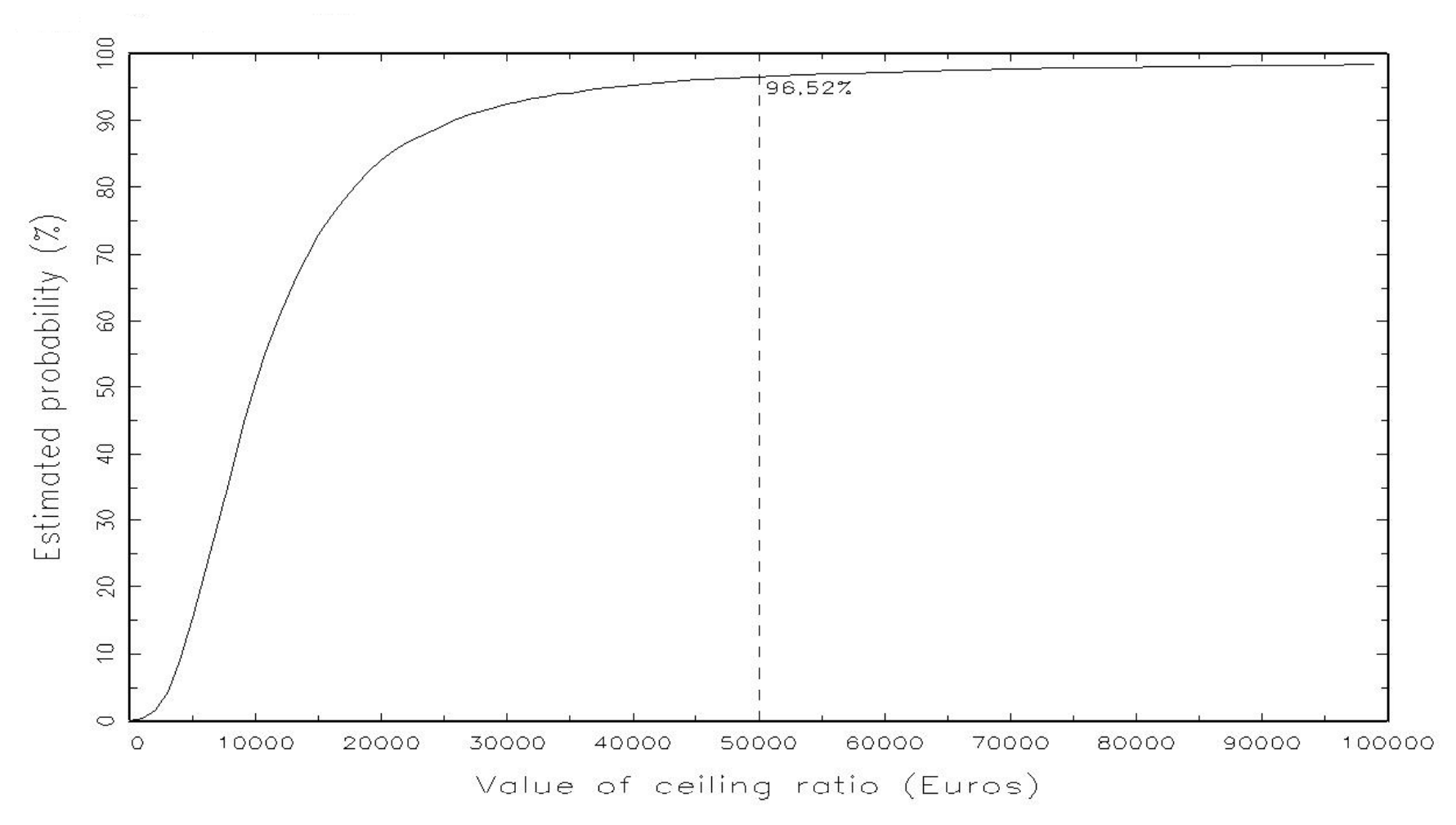




V- Approche alternative : les courbes d'acceptabilité



Les courbes d'acceptabilité : Probabilité estimée en fonction de Rc





Marino, P., Siani, C., et al., 2010, "Annals of Oncology. 21(7), 1448-1454.

Les courbes d'acceptabilité : Construction (1)

Calcul à partir du RCEI :

$$CE_{acc}(R_C) = Pr(\widehat{R} < R_C | \Delta \overline{E} > 0) + Pr(\widehat{R} > R_C | \Delta \overline{E} < 0),$$

$$= \int_{-\infty}^{+\infty} \int_{-\infty}^{R_C \Delta \overline{E}} f_{\Delta C, \Delta E}(\Delta \overline{c}, \Delta \overline{e}) d\Delta \overline{c} d\Delta \overline{e},$$

Calcul à partir du BNI (noté INMB) :

$$CE_{acc}(R_C) = Pr(\widehat{INMB} > 0),$$

= $\int_0^{+\infty} \widehat{f_{INMB}(R_C)}(\widehat{inmb}(R_C)) \widehat{dinmb}(R_C),$



Les courbes d'acceptabilité : Construction (2)

Approche paramétrique

$$(\widehat{INMB}(R_C) - INMB(R_C))/\sigma_{\widehat{INMB}(R_C)} \sim N(0, 1).$$

$$\widehat{CE}_{acc}(R_C) = \Phi\left(\frac{\widehat{inmb}(R_C)}{\widehat{Var}(\widehat{INMB}(R_C))}\right),\,$$

Avec $\widehat{Var}(\widehat{INMB}(R_C))$ désigne un estimateur de la variance de \widehat{INMB} .



Les courbes d'acceptabilité : Construction (3)

Approche non paramétrique

- 1) On fixe une valeur pour le ratio seuil Rc.
- 2) On fait un grand nombre de simulations et on compte le nombre de points du nuage pour lesquels :
 - Le RCEI se situe au-dessous du seuil Rc,
 - ou Le BNI est positif.
- 3) On fait varier Rc et on repart à l'étape 1).



Les courbes d'accep4abilité : Construction (4)

• Etape 2 à partir du RCEI :

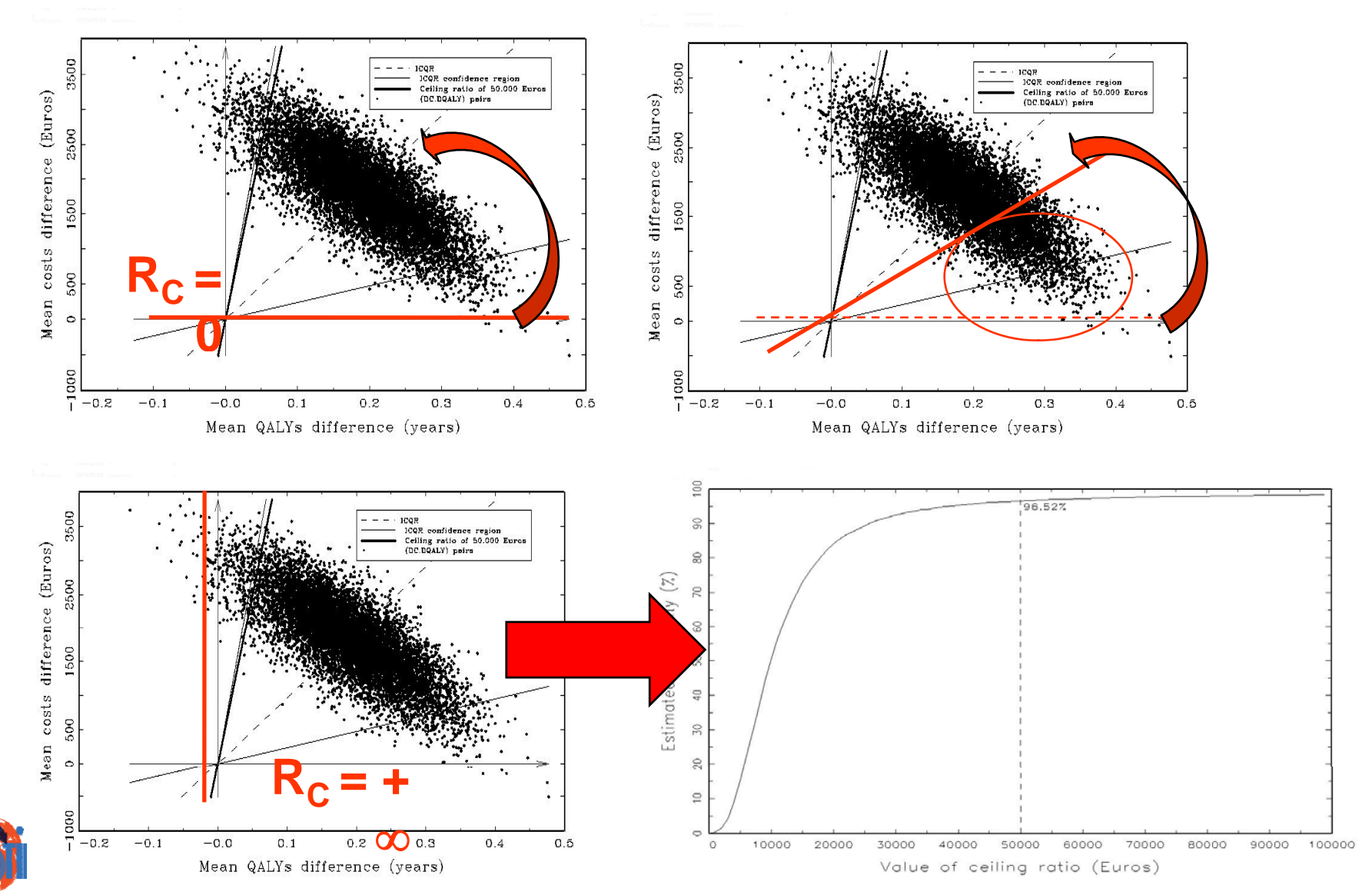
$$CE_{acc}^*(R_C) = \frac{1}{B} \sum_{b=1}^{B} \left[I(R_b^* < R_C, \Delta \bar{E}_b^* > 0) + I(R_b^* > R_C, \Delta \bar{E}_b^* < 0) \right],$$

Etape 2 à partir du BNI :

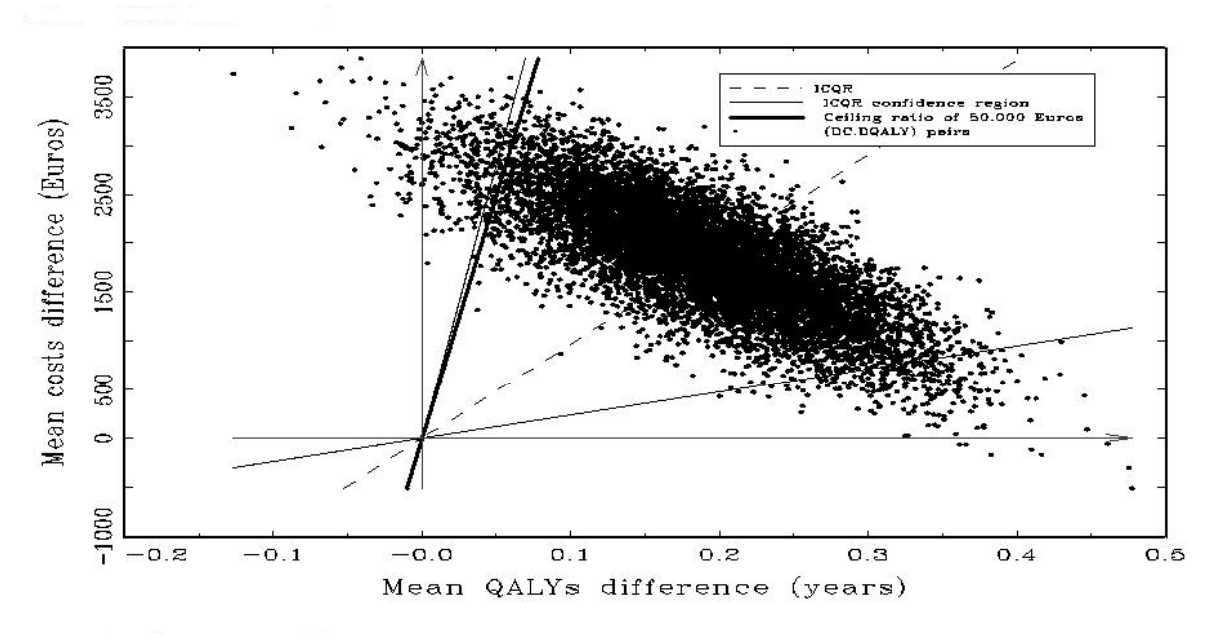
$$CE_{acc}^*(R_C) = \frac{1}{B} \sum_{b=1}^{B} I(INMB_b^*(R_C) > 0),$$



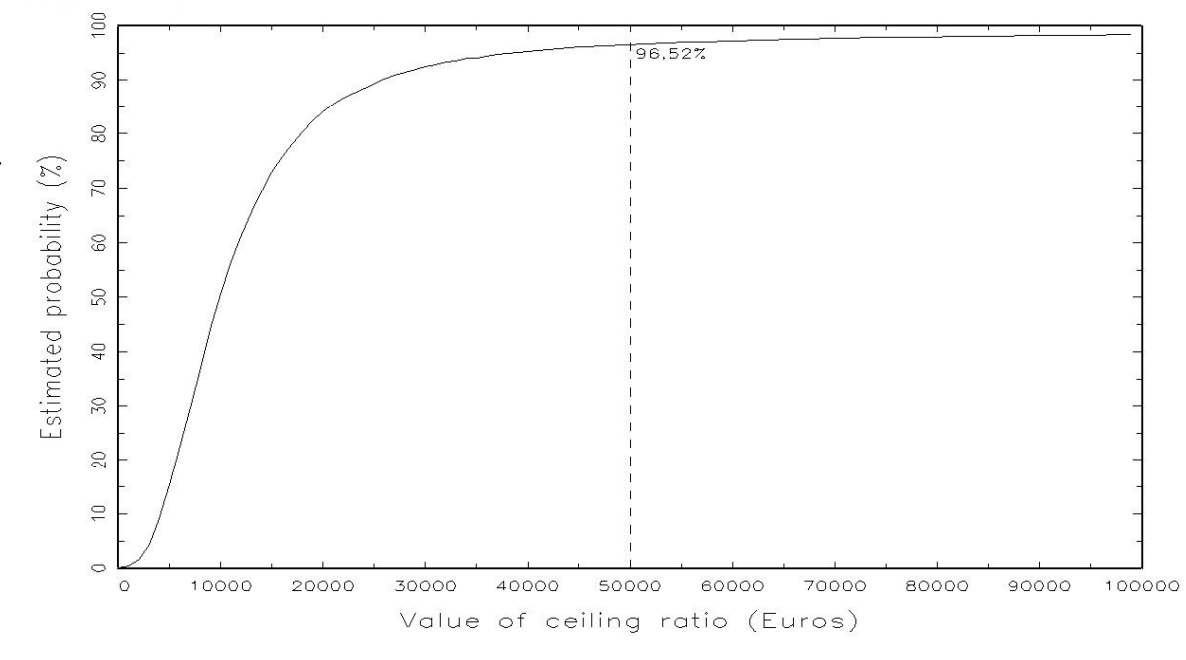
Les courbes d'acceptabilité : Construction (5)



Les courbes d'acceptabilité



Marino, Siani et al., Annals of Oncology, 2010.





VI- Conclusion

VI-1 Synthèse

VI-2 recommandations de la HAS



VI-1 Synthèse

- Attention au sujet des résultats des ACE basées sur le RCEI ponctuel seulement
- ⇒ les conclusions de ces analyses sont différentes si on prend en compte l'incertitude statistique ou non !!!
- Il est indispensable de prendre en compte l'incertitude statistique si on veut réalise une décision fiable.
- Recourir également aux analyses de sensibilité.



- 1) Analyse déterministe : graphique de Tornado (représentation graphique d'une analyse de sensibilité déterministe univariée)
- 2) Analyse probabiliste : représentation du nuage de point dans le repère résultat-coût et ellipses de confiance
- 3) Analyse probabiliste : représentation de la courbe d'acceptabilité



1) Diagramme de Tornado

Figure : Présentation d'une analyse de sensibilité univariée sous la forme d'un graphique de Tornado.

Probabilité de prise en charge après le dépistage (100% - 10% [75%])

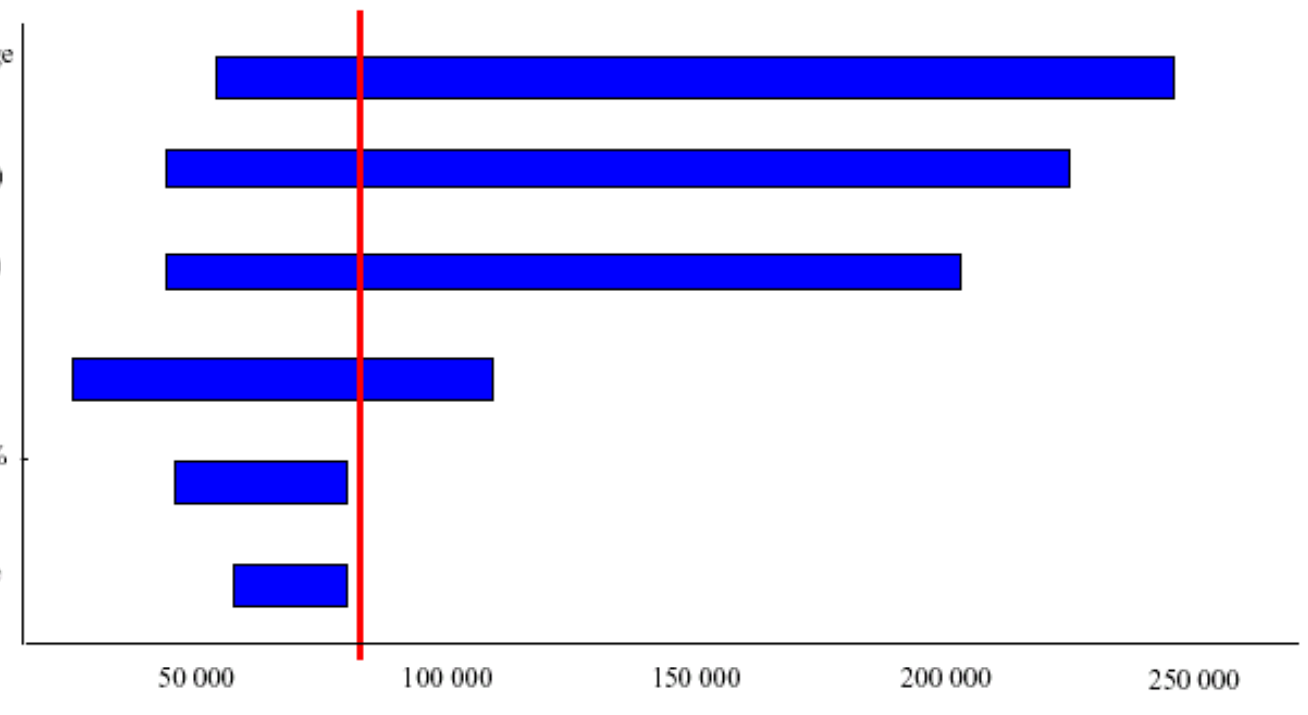
Coût du test VIH (10,68 € - 213,5 € [42,70€])

Délai infection-dépistage (10ans-1an [3ans])

Cas prévalents (10%-0,1% [0,106%])

Efficacité des ARV (analyse centrale +10% analyse centrale -20%)

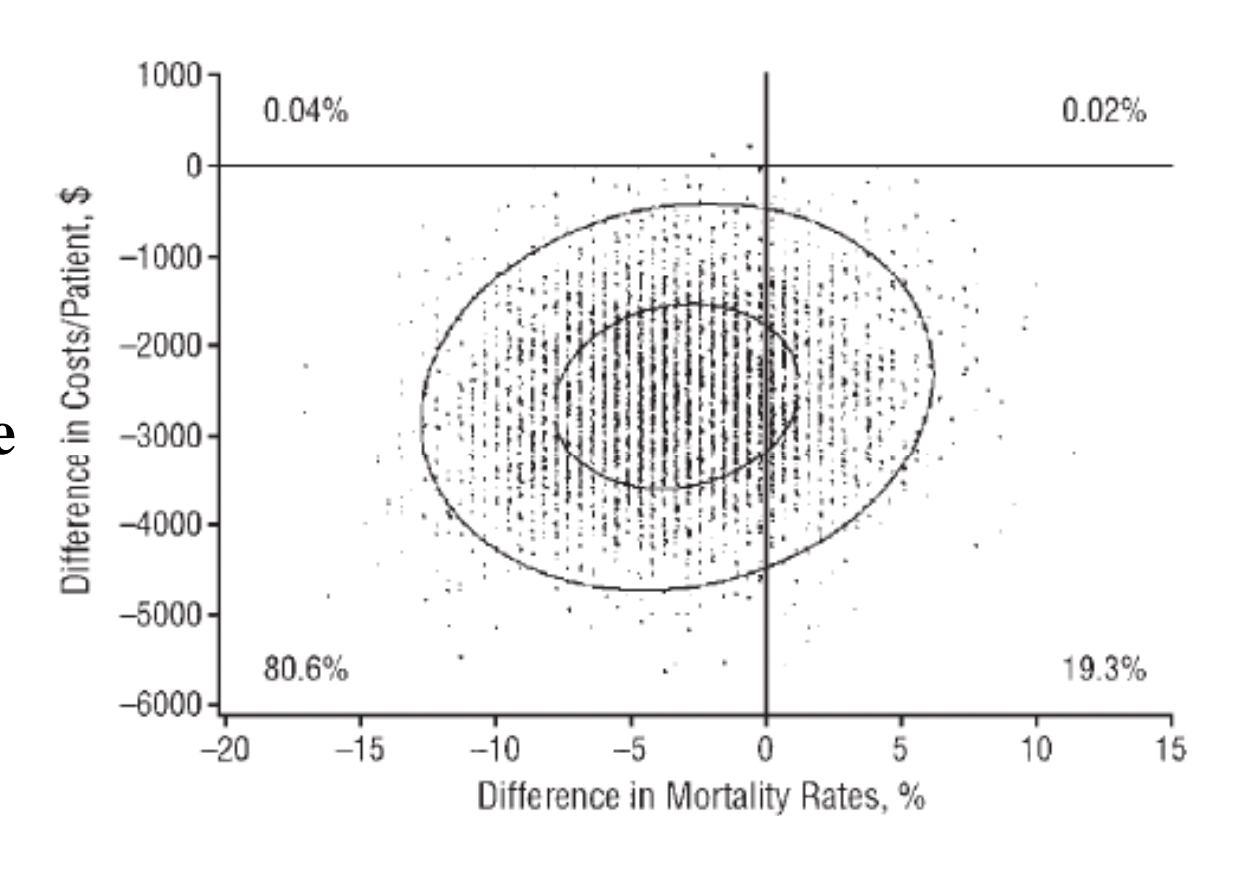
Nombre de tests dans la population non infectée (Baisse de 10% - Analyse centrale)





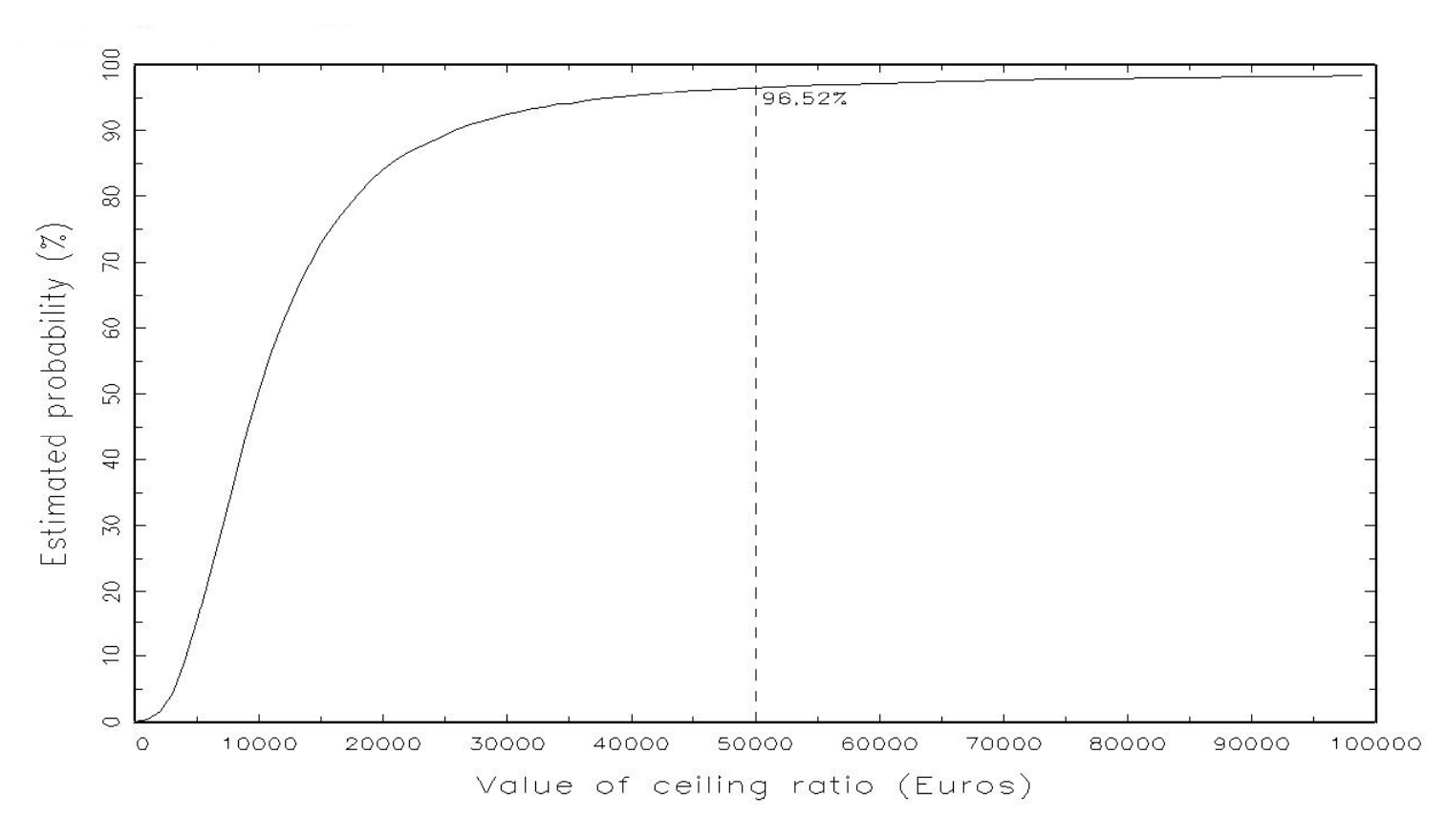
2) Analyse probabiliste

- Ellipses de confiance à 50% et 95%
- Probabilité estimée d'appartenir à chaque cadran du plan CE.





3) Courbe d'acceptabilité





VI- Application : Exemple et exercice



Les règles de décision sans traitement de l'incertitude : exemple

Tableau . **1.** Evaluation économique comparative de deux stratégies de diagnostic de thrombose d'une veine profonde

Programme	Coûts (\$ US)	Résultats (Nombre de diagnostics corrects)	Ratio coût-résultat (\$ par diagnostic correct)
1. IPG* seule	321 488	142	2 264
 IPG et phlébographie, si l'IPG est négative 	603 552	201	3 003
3. Différence (du programme 2 par rapport au programme 1)	282 064	59	4 781

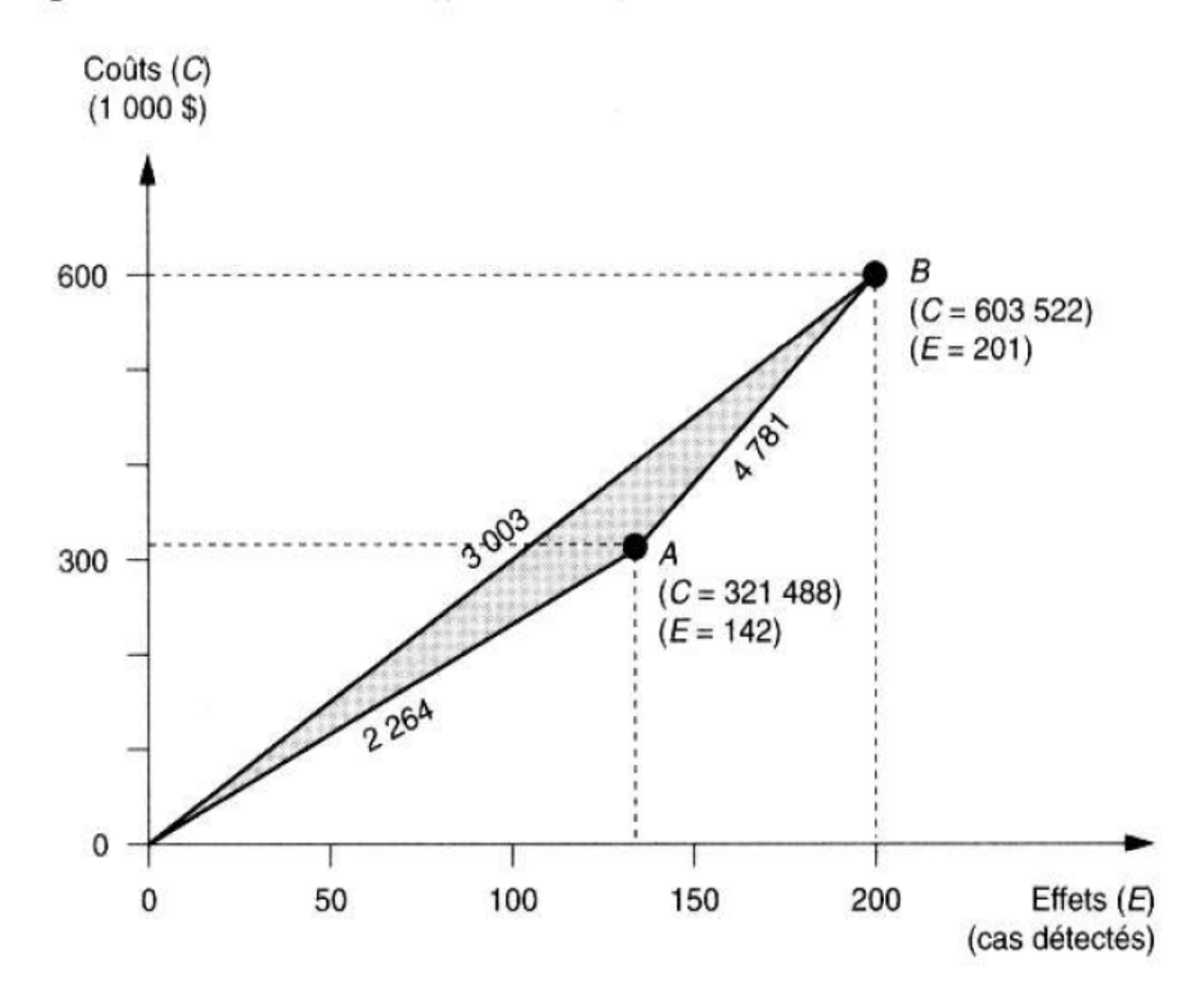
^{*} IPG : Impédance phlétysmographique

Données tirées du tableau 1, Hull et al. (1981).



Les règles de décision sans traitement de l'incertitude : exemple

Figure Ratios coût-efficacité moyens et différentiels





Merci pour votre attention et bonne continuation



Bibliographie

- Béresniak A, Duru G. Economie de la Santé. 5e édition, Masson, 2001.
- Drummond MF, O'Brien BJ, Stoddart GL, Torrance GW. Méthodes d'évaluation économique des programmes de santé. Economica, 1998.
 - traduction de la 2e édition d'un livre dont la 3e édition est paru en 2005 : Drummond MF, Sculpher MJ, Torrance GW, O'Brien BJ, Stoddart GL. Methods for the Economic Evaluation of Health Care Programmes. 3rd edition, Oxford University Press, 2005.



Bibliographie

- Marino, P., Siani, C., Bertucci, F., Roche, H., Martin, A.-L., Viens, P., Seror, V., 2011 "Economic issues involved in integrating genomic testing into clinical care: the case of genomic testing to guide decision-making about chemotherapy for breast cancer patients". Breast Cancer Research and Treatment.
- Marino, P., Siani, C., Roche, H., Protiere, C., Fumoleau, P., Spielmann, M., Martin, A.-L., Viens, P., Le Corroller Soriano, A.-G., 2010, "Cost-effectiveness of adjuvant docetaxel for node-positive breast cancer patients: results of the PACS 01 economic study". Annals of Oncology. 21(7), 1448–1454.



Bibliographie

- Siani, C., and de Peretti, C., 2006, "How to make decision with the Incremental Cost-Effectiveness Ratio under uncertainty?". Health and System Science, 9(1-2), 111-145.
- de Peretti, C. and Siani, C., 2006, "The performance of Fieller's method in problematic cases often occuring in practice". Health and System Science, 9(1-2), 205-226.
- Marino, P., Siani, C., Roché, H. and Moatti, J.P., 2005, "The impact of uncertainty in cost-effectiveness analysis of medical strategies: the case of high dose chemotherapy for breast cancer patients", The International Journal of Technology Assessment in Health Care, 21(3).